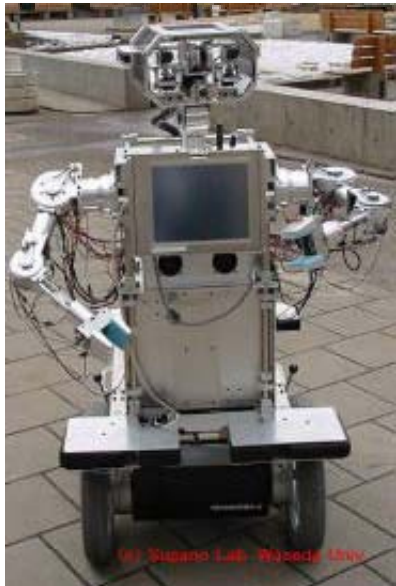


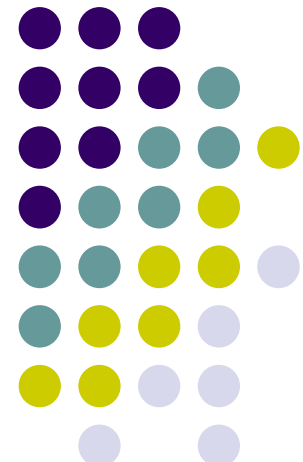
# Lekcija 11: Upravljanje kretanjem mobilnog robotom



Prof.dr.sc. Jasmin Velagić  
Elektrotehnički fakultet Sarajevo

Kolegij: Mobilna robotika

2012/2013





## 11.1. Upravljanje mobilnim robotom

- Upravljanje kretanjem robota sastoji se od **generiranja upravljačkih momenata**, odnosno **brzina**, ovisno o tome da li se upravlja dinamičkim ili kinematičkim modelom robota, na kotače mobilnog robota.
- **Zahtjevi za upravljanje kretanjem mobilnim robotom:**
  - Poznavanje kinematičkog, odnosno dinamičkog modela robota.
  - Model interakcije između kotača i podlage.
  - Definiranje referentne trajektorije, odnosno zahtijevanog kretanja.



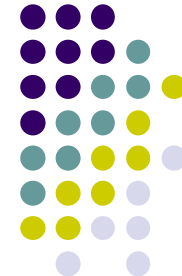
# Upravljanje mobilnim robotom

- Načini ostvarivanja zahtijevanog kretanja → brzinsko i/ili pozicijsko upravljanje.
- Upravljački zakon koji zadovoljava zahtjeve.
- **Problemi upravljanja kretanjem mobilnim robotom:**
  - Ne postoji izravan način mjerjenja pozicije robota.
  - Pozicija se mora integrirati u vremenu.
  - Neprecizna (netačna) estimacija pozicije → izazov broj 1 u mobilnoj robotici.



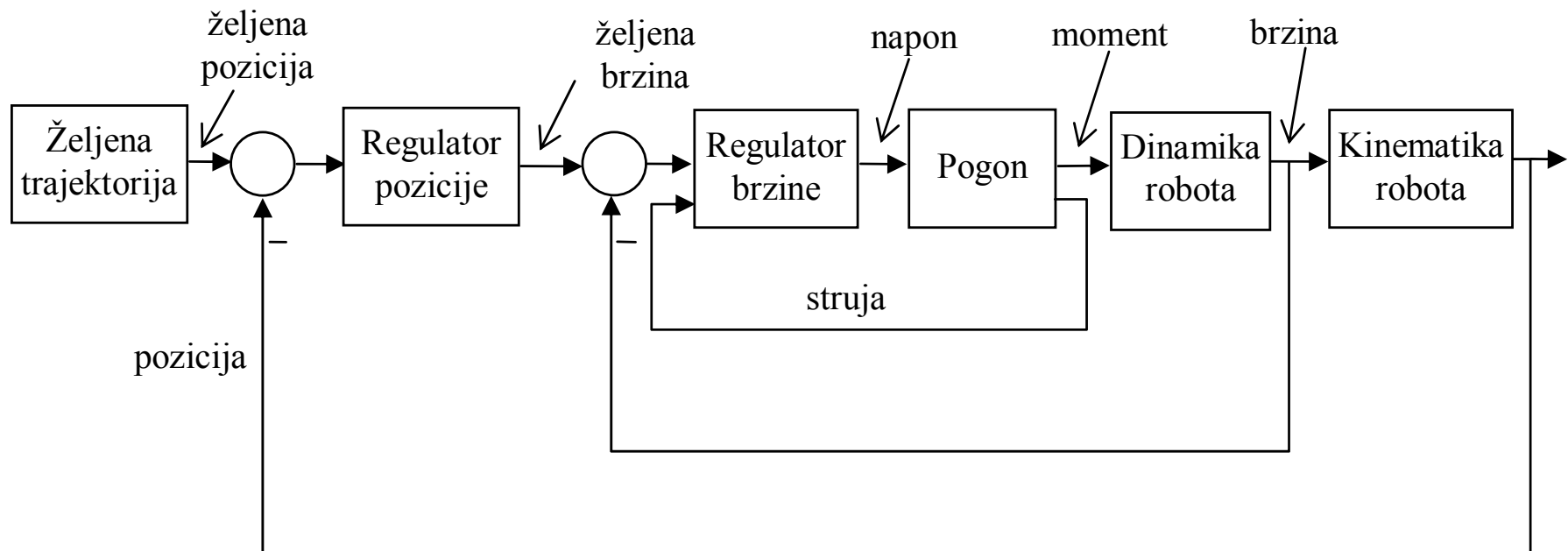
# Upravljanje mobilnim robotom

- Strategije upravljanja zasnivaju se na:
  - **Kinematickom modelu robota.**
  - **Dinamičkom modelu robota.**
- Kada su **brzine kretanja mobilnog robota male:**
  - Koristi se kinematicki model robota.
  - Primjenjuje se upravljanje brzinom kretanja lijevog i desnog kotača (regulator brzine).
- U slučaju **većih brzina kretanja i masa robota:**
  - Koristi se dinamički model robota.
  - Primjenjuje se upravljanje momentom.



# Upravljanje mobilnim robotom

## Upravljanje zasnovano na dinamičkom modelu

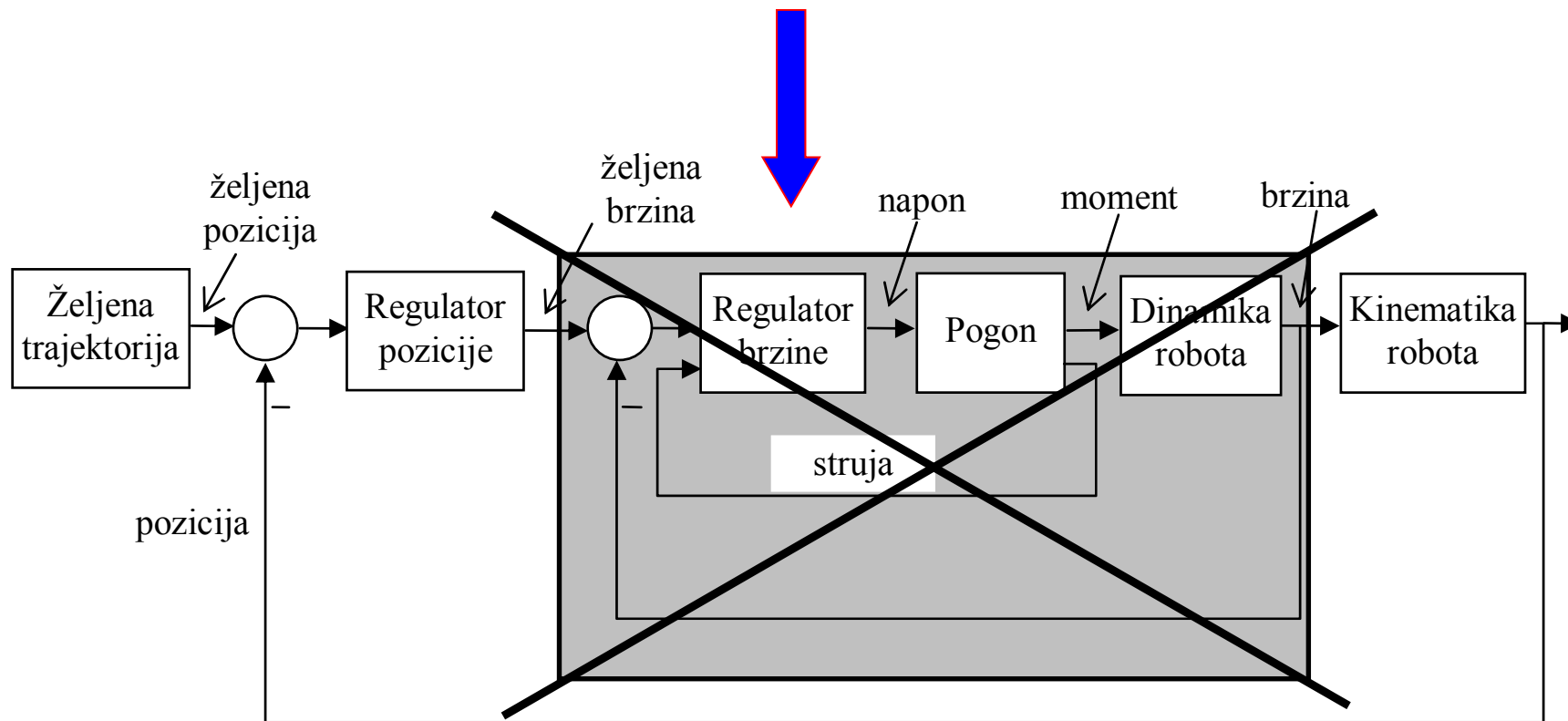




# Upravljanje mobilnim robotom

## Upravljanje zasnovano na kinematičkom modelu

Nestaje unutarnja petlja.





## 11.2. Upravljanje kinematičkim modelom

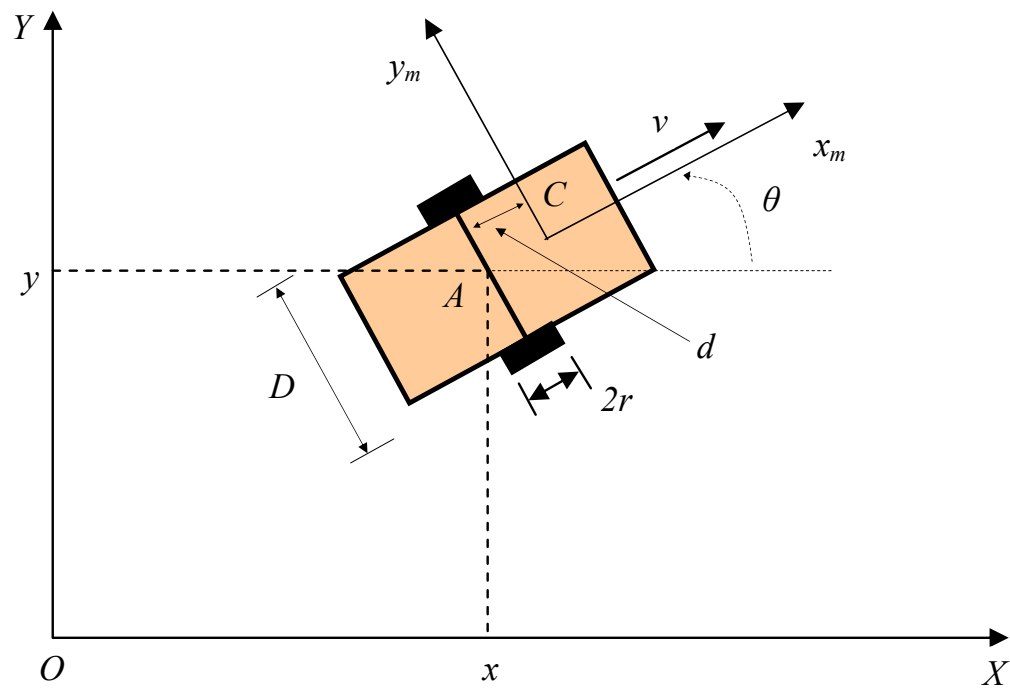
- Kod sinteze regulatora brzine mobilnog robota pretpostavljaju se sljedeća pojednostavljenja:
  - **Kinematički model je opisan diferencijalnom jednadžbom prvog reda.**
  - **Odgovarajuća upravljačka brzina se može postići.**
- Unutar ovih prepostavki potrebno je postići sljedeće rezultate:
  - **Eksponencijalnu konvergenciju trajektorije ka željenoj (referentnoj) trajektoriji.**
  - **Mogućnost podešavanja brzine konvergencije (parametar  $k$  ).**



# Upravljanje kinematičkim modelom

- Kinematički model mobilnog robota s diferencijalnim pogonom.

## Kinematičke jednadžbe:



$$\begin{bmatrix} \dot{x} \\ \dot{y} \\ \dot{\theta} \end{bmatrix} = \begin{bmatrix} \cos(\theta) & 0 & v \\ \sin(\theta) & 0 & 0 \\ 0 & 1 & \omega \end{bmatrix} \begin{bmatrix} v \\ \omega \end{bmatrix}$$

$$\begin{bmatrix} v \\ \omega \end{bmatrix} = \begin{bmatrix} \frac{r}{2} & \frac{r}{2} \\ \frac{r}{D} & -\frac{r}{D} \end{bmatrix} \begin{bmatrix} v_R \\ v_L \end{bmatrix}$$



# Upravljanje kinematičkim modelom

- Kombiniranjem prethodne dvije kinematičke jednadžbe dobiva se:

$$\begin{bmatrix} \dot{x} \\ \dot{y} \\ \dot{\theta} \end{bmatrix} = \begin{bmatrix} \cos(\theta) & 0 \\ \sin(\theta) & 0 \\ 0 & 1 \end{bmatrix} \begin{bmatrix} \frac{r}{2} & \frac{r}{2} \\ \frac{r}{2} & -\frac{r}{D} \\ \frac{r}{D} & -\frac{r}{D} \end{bmatrix} \begin{bmatrix} v_R \\ v_L \end{bmatrix} = \begin{bmatrix} \frac{r \cos(\theta)}{2} & \frac{r \cos(\theta)}{2} \\ \frac{r \sin(\theta)}{2} & \frac{r \sin(\theta)}{2} \\ \frac{r}{D} & -\frac{r}{D} \end{bmatrix} \begin{bmatrix} v_R \\ v_L \end{bmatrix}$$

- Ulazi kinematičkog modela su brzine lijevog i desnog kotača.
- Izlazi kinematičkog modela su koordinate pozicije ( $x, y$ ) mobilnog robota i orientacija (ugao  $\theta$ ).
- Neholonomsko ograničenje (nemogućnost bočnog kretanja):

$$\dot{x} \sin \theta + \dot{y} \cos \theta - d \dot{\theta} = 0$$



## Upravljanje kinematičkim modelom

- Zahtjev koji se postavlja na upravljanje je da pogreška slijedenja eksponencijalno teži ka nuli kao funkcija vremena, tj.:

$$\frac{de}{dt} + Ke = 0 \quad (*)$$

- Pogreška pozicije je definirana kao:

$$e = x_r - x = \begin{bmatrix} x_r \\ y_r \end{bmatrix} - \begin{bmatrix} x \\ y \end{bmatrix}$$

- Uvjet (\*) je zadovoljen za sljedeći zakon upravljanja:

$$v = K(x_r - x) + \dot{x}_r$$

$K$  mora biti pozitivno definitna matrica.



# Upravljanje kinematičkim modelom

- Drugim riječima, potrebno je da vrijedi:

$$k_1, k_2 > 0$$

gdje su  $k_1$  i  $k_2$  elementi matrice  $\mathbf{K}$ :

$$\mathbf{K} = \begin{bmatrix} k_1 & 0 \\ 0 & k_2 \end{bmatrix}$$

- Na temelju prethodnog upravljačkog zakona, brzine lijevog i desnog kotača postaju:

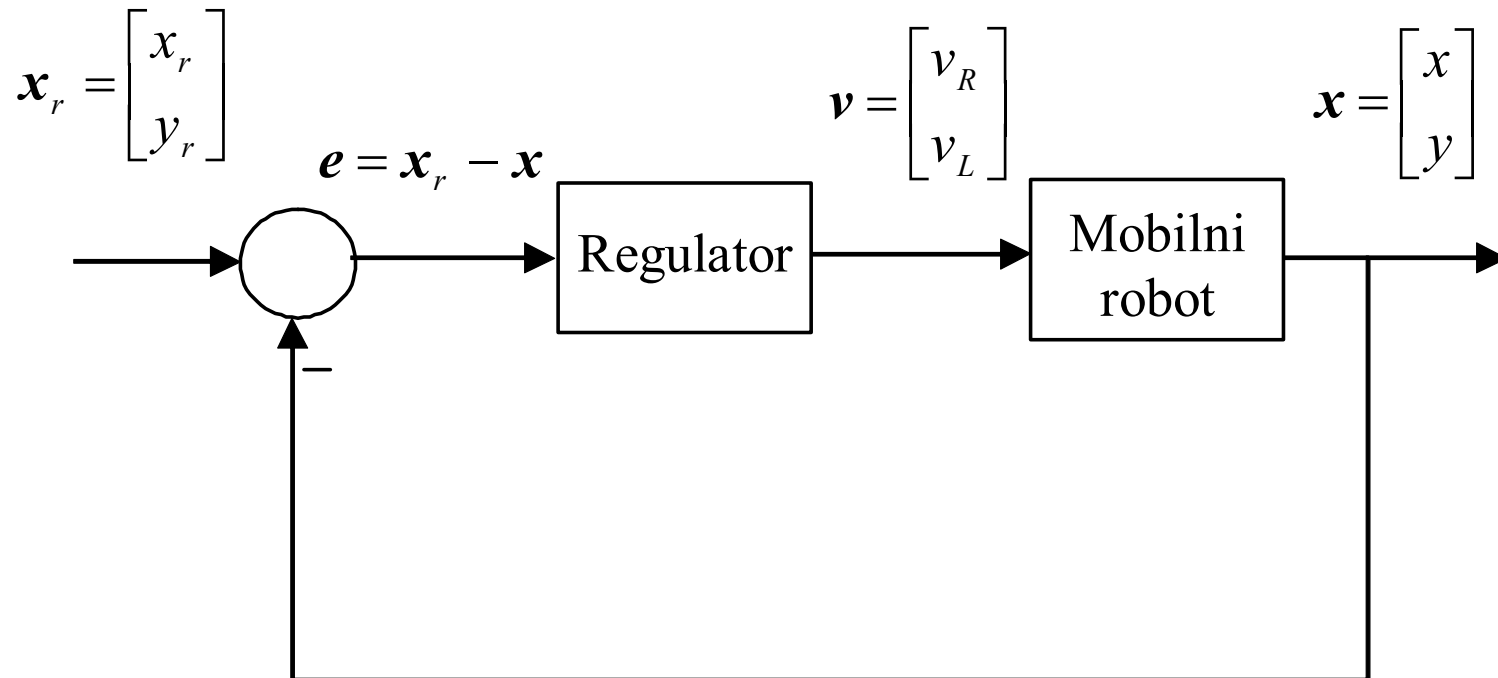
$$\begin{bmatrix} v_R \\ v_L \end{bmatrix} = \mathbf{J}^{-1} \mathbf{v} = \mathbf{K}(\mathbf{x}_r - \mathbf{x}) + \dot{\mathbf{x}}_r$$

Matrica Jacobiana  $\mathbf{J}$  mora biti nesingularna.



# Upravljanje kinematičkim modelom

## Struktura sistema upravljanja



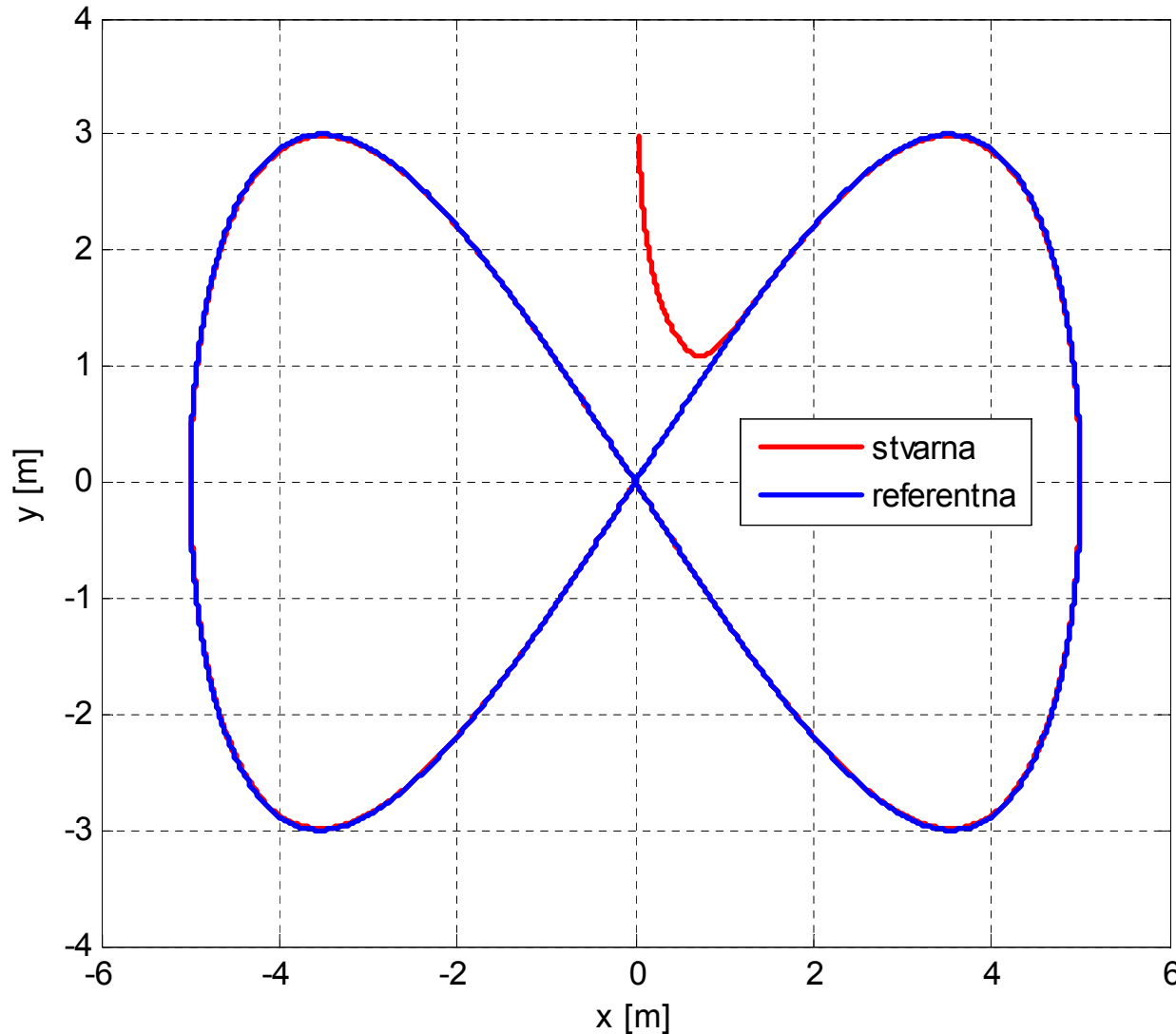
Parametri PD regulatora su ručno podešavani na način da se postigne što je moguće bolje slijedenje referentne trajektorije. Pri tome su dobivene sljedeće vrijednosti elemenata matrice  $K$ :  $k_1=102.9822$ ,  $k_2=1.3536$  [Velagić, Osmić i Lačević, 2008].



13/79

# Upravljanje kinematičkim modelom

## Rezultati upravljanja

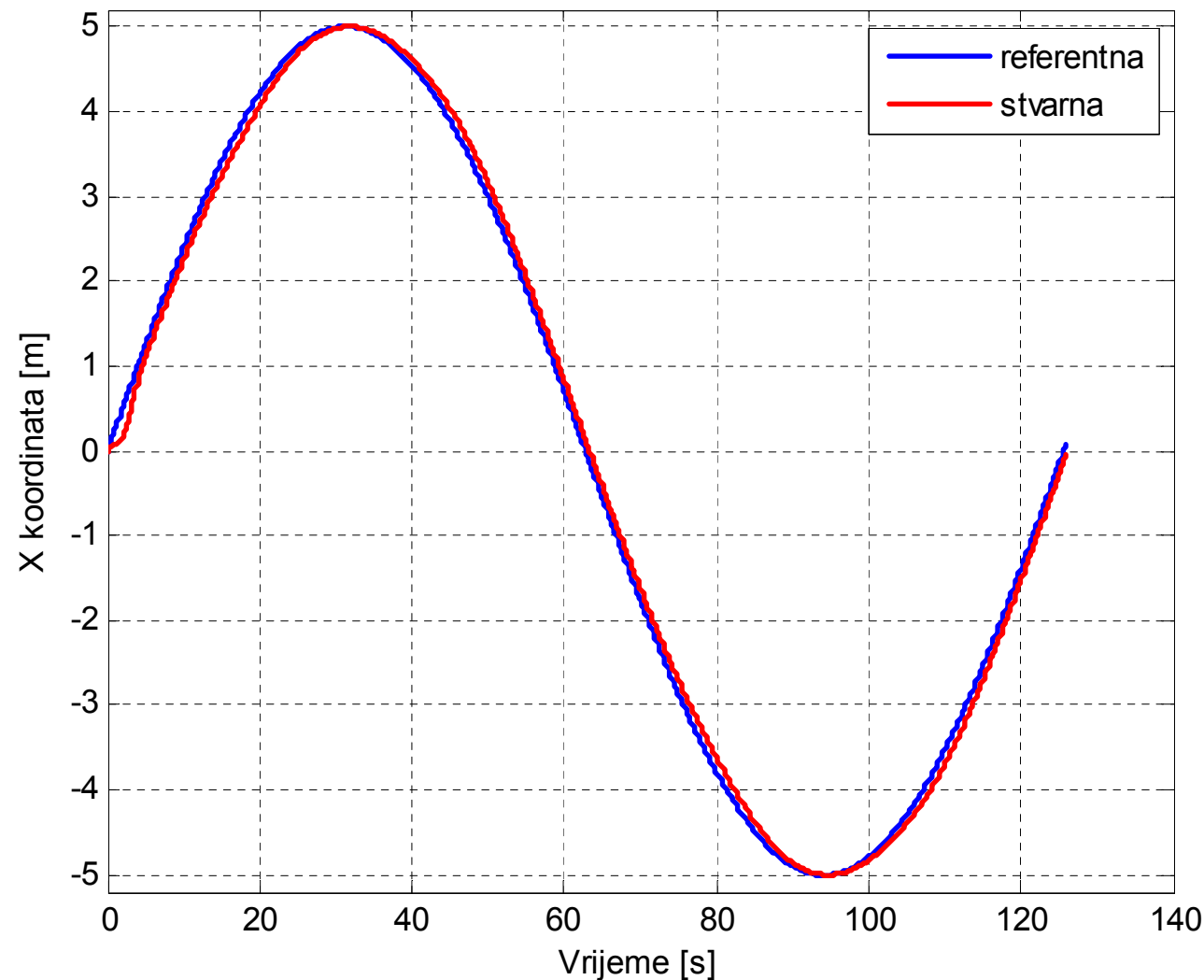


U toku slijedenja  
lemniskatne  
trajektorije  
razmatraju se  
odzivi pozicije,  
orientacije i  
linearnih brzina  
lijevog i desnog  
kotača.



# Upravljanje kinematičkim modelom

## Rezultati upravljanja

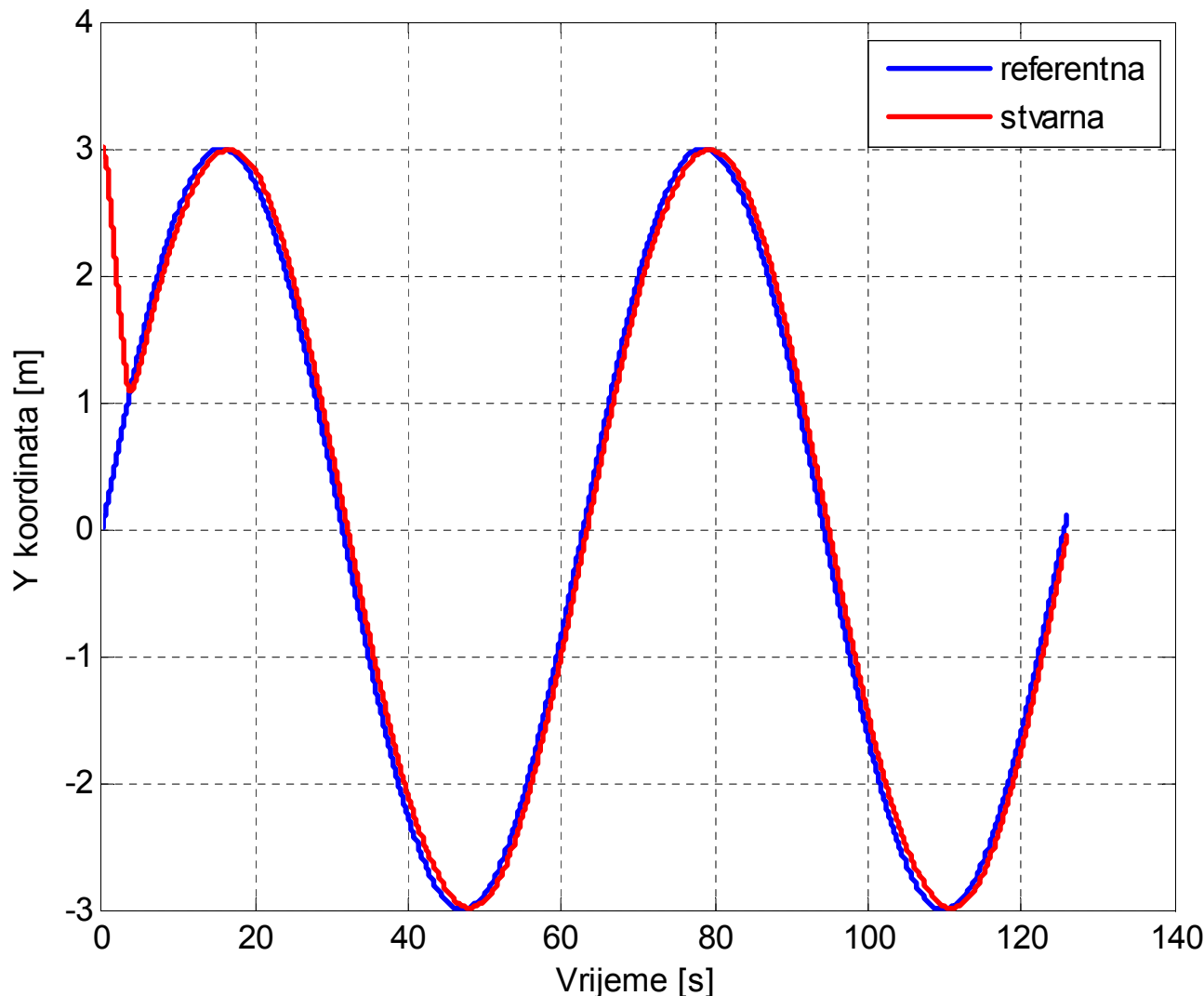




15/79

# Upravljanje kinematičkim modelom

## Rezultati upravljanja

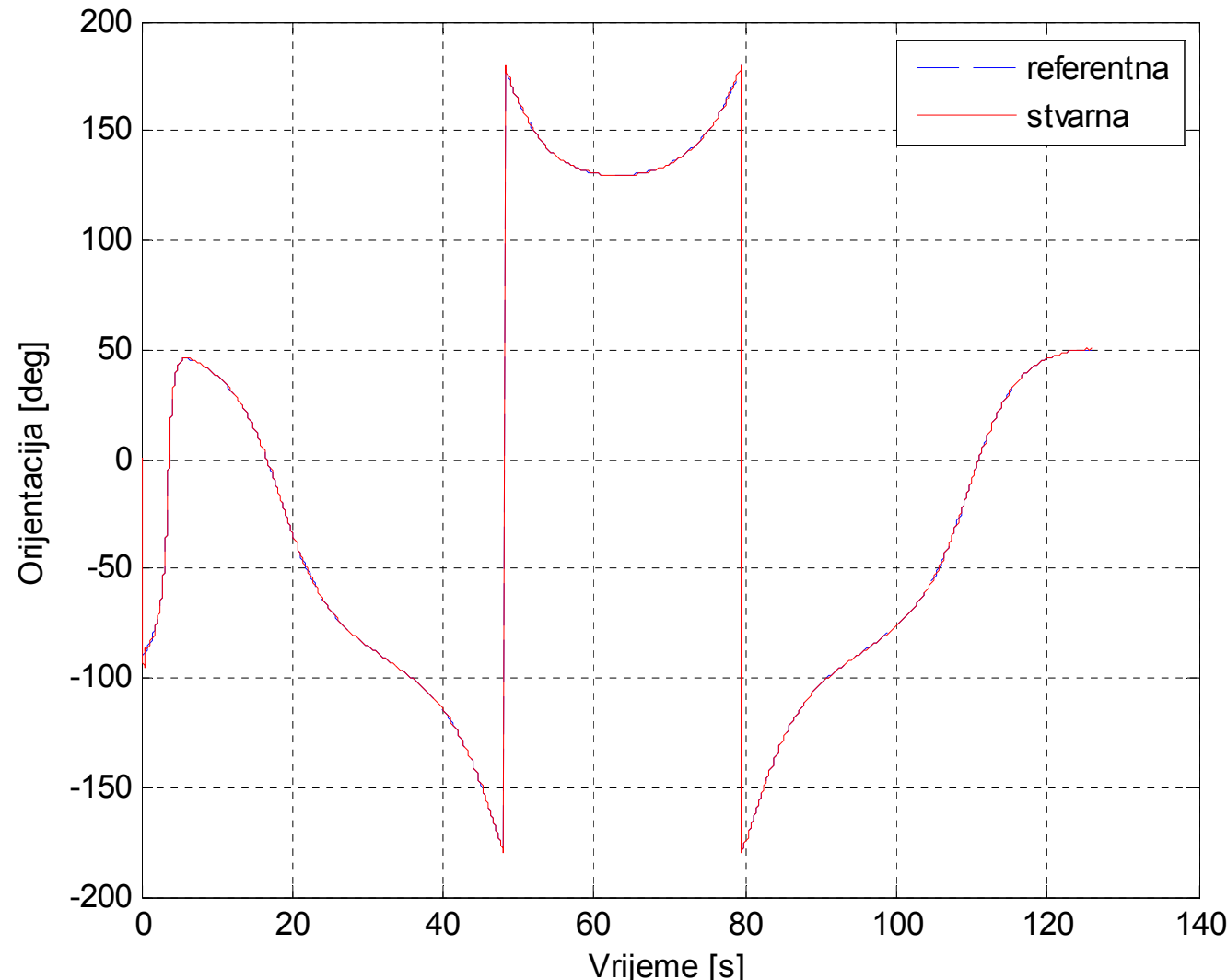




16/79

# Upravljanje kinematičkim modelom

## Rezultati upravljanja

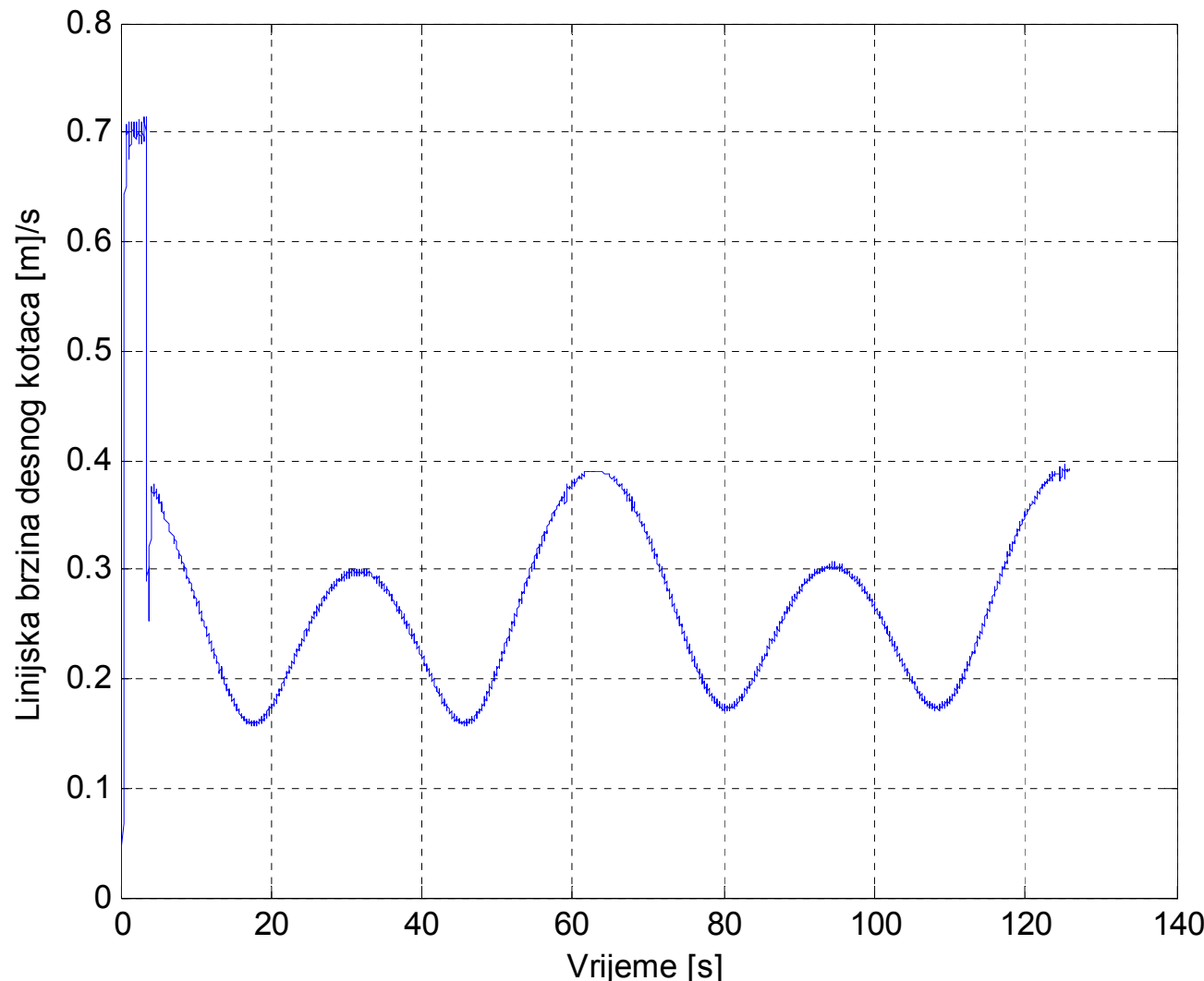




17/79

# Upravljanje kinematičkim modelom

## Rezultati upravljanja

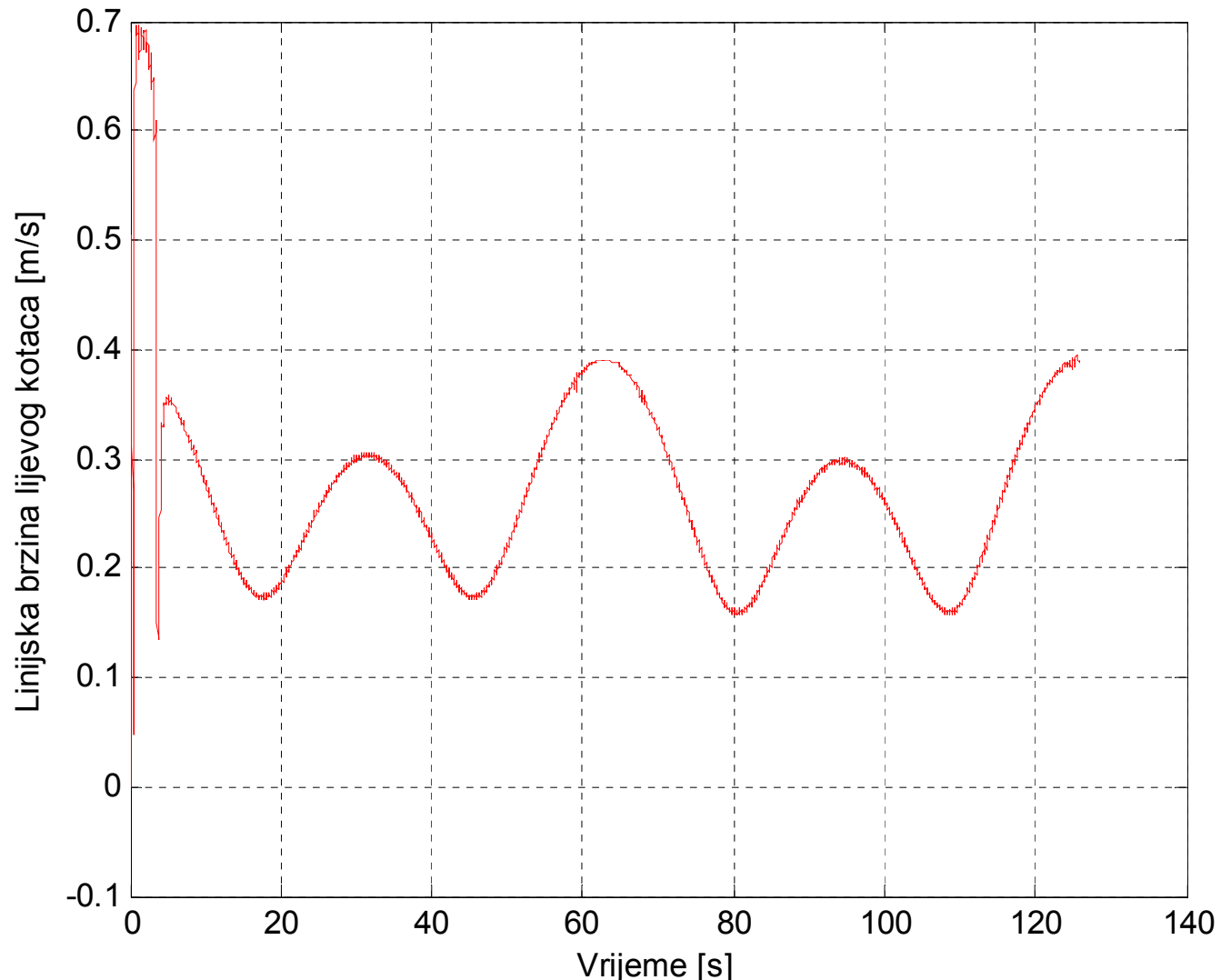




18/79

# Upravljanje kinematičkim modelom

## Rezultati upravljanja





### 11.3. Upravljanje dinamičkim modelom

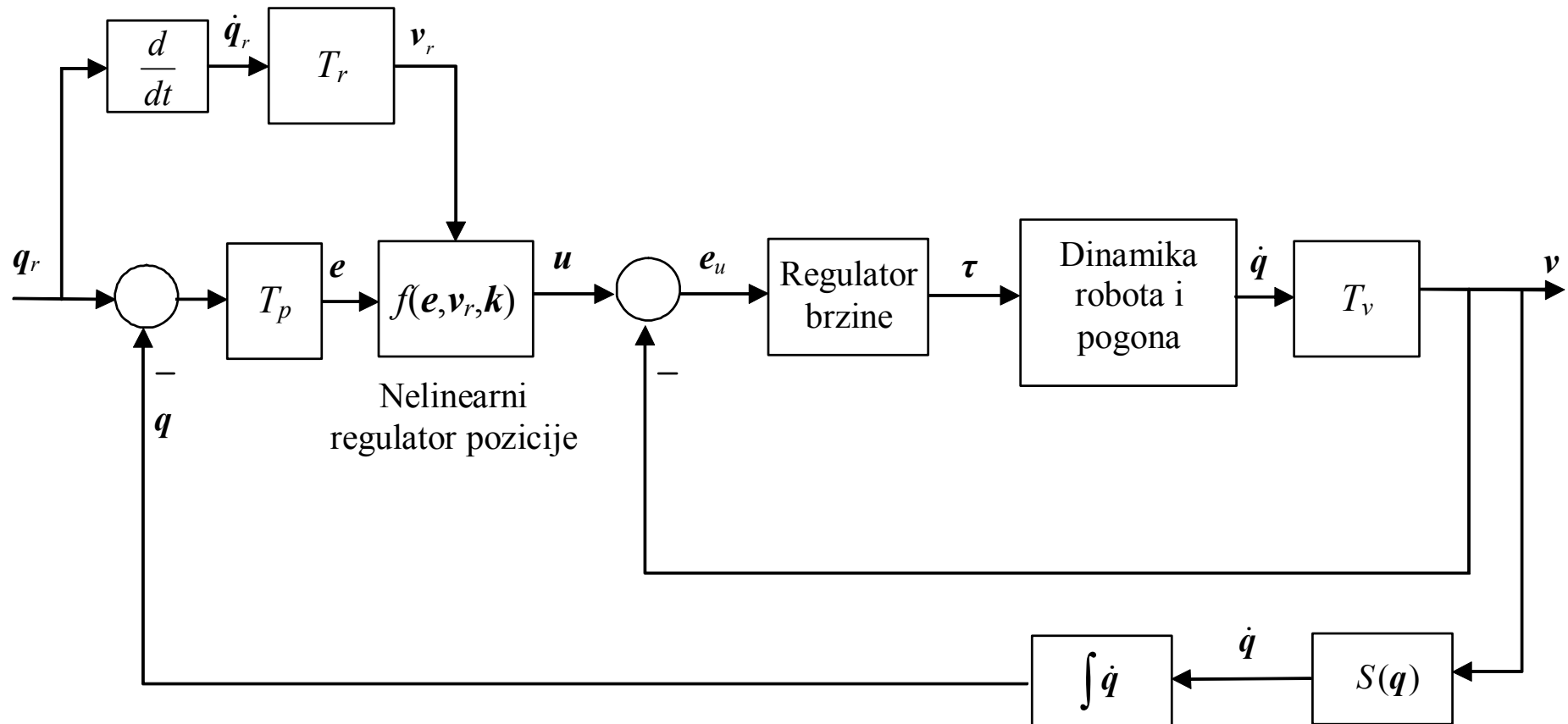
- Za razliku od upravljanja kinematičkim modelom, koji zahtijeva samo regulaciju brzine robota, kod upravljanja dinamičkim modelom mobilnog robota neophodno je regulirati, osim brzine, **i poziciju robota** (sljedeća slika).
- Prema tome, ovdje postoji **kaskadna regulacija brzine i pozicije mobilnog robora**.
- Unutarnji, odnosno podređeni, regulacijski krug upravlja brzinom, a vanjski (nadređeni) krug upravlja pozicijom mobilnog robota. Kod sinteze ova dva regulatora, prvo će se obaviti sinteza regulatora brzine, a nakon toga sinteza regulatora pozicije robota.



20/79

# Upravljanje dinamičkim modelom

- Sistem upravljanja dinamičkim modelom mobilnog robota [Lačević, Velagić, 2005].

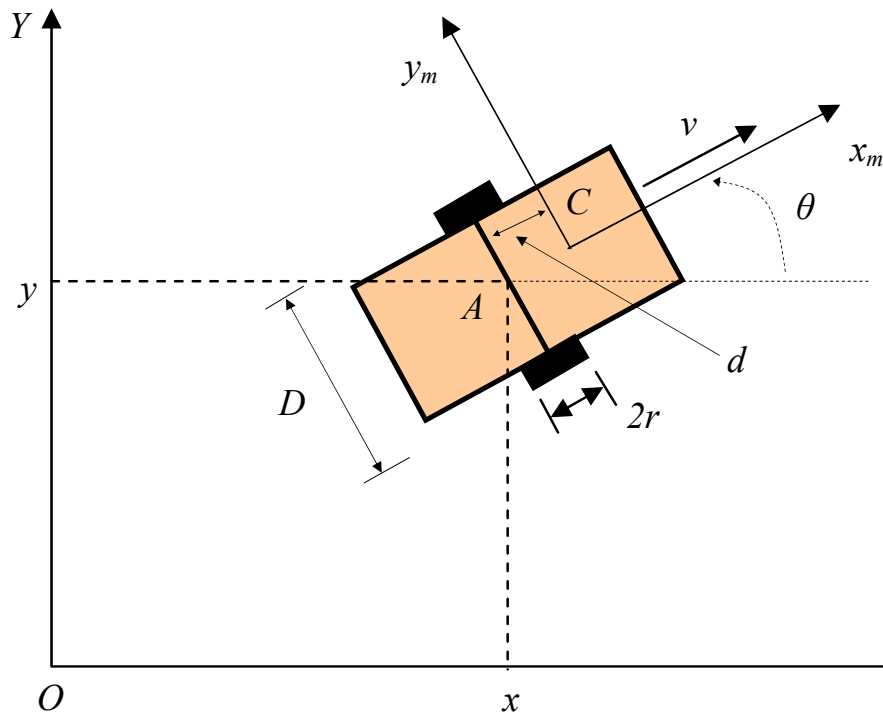




# Upravljanje dinamičkim modelom

- Dinamički model mobilnog robota sa diferencijalnim pogonom.

## Dinamičke jednadžbe:



$$\begin{aligned} A\ddot{\theta}_R + B\ddot{\theta}_L &= \tau_R - K_{tr}\dot{\theta}_R \\ B\ddot{\theta}_R + A\ddot{\theta}_L &= \tau_L - K_{tr}\dot{\theta}_L \end{aligned}$$

$$A = \left( \frac{mr^2}{4} + \frac{r^2 I_1}{D^2} + I_0 \right)$$

$$B = \left( \frac{mr^2}{4} - \frac{r^2 I_1}{D^2} \right)$$



# Upravljanje dinamičkim modelom

- Općenito, zadatak regulatora mobilnog robota je da slijedi referentnu trajektoriju  $q_r$ , koja se mijenja brzinom  $\dot{q}_r$ .
- **Na temelju dinamičkog modela robota se dizajnira upravljački zakon za pogonske momente mobilnog robota, tako da trajektorija mobilnog robota slijedi glatku zadalu trajektoriju.**
- Referentna i stvarna trajektorija opisane su izrazima:

$$\begin{aligned} q_r(t) &= [x_r \quad y_r \quad \theta_r]^T \\ q(t) &= [x \quad y \quad \theta]^T \end{aligned}$$



# Upravljanje dinamičkim modelom

- Mobilni robot treba da slijedi referentnu trajektoriju tako da **apsolutne vrijednosti pogrešaka koordinata i ugla**:

$$| x_e | = | x_r(t) - x(t) |$$

$$| y_e | = | y_r(t) - y(t) |$$

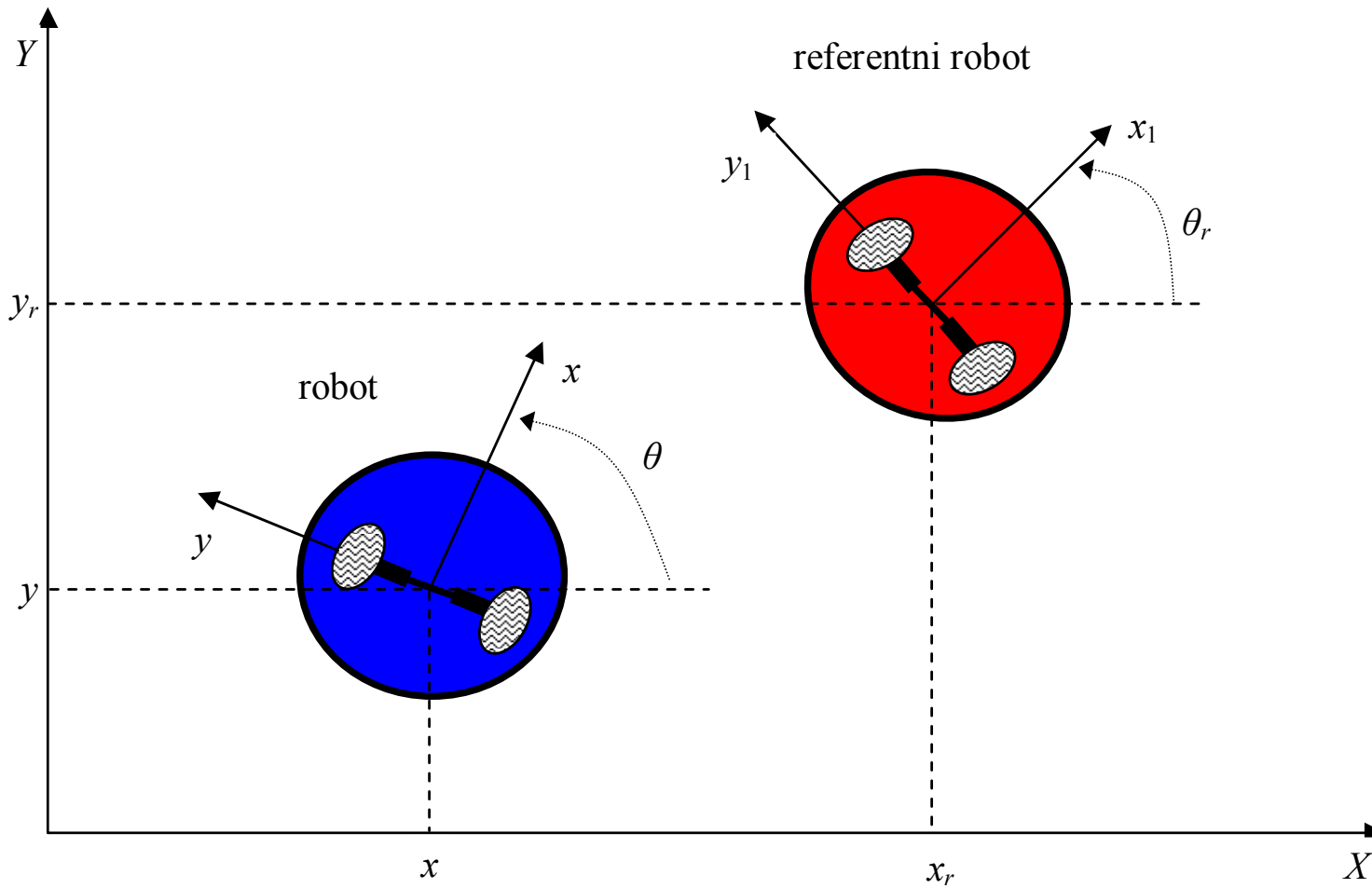
$$| \theta_e | = | \theta_r(t) - \theta(t) |$$

**budu što je moguće manje, odnosno da teže ka nuli.**



# Upravljanje dinamičkim modelom

- Za potrebe slijedenja referentne trajektorije često se koristi **princip slijedenja virtualnog (referentnog) robota**.





# Upravljanje dinamičkim modelom

## Princip slijedenja virtualnog (referentnog) robota.

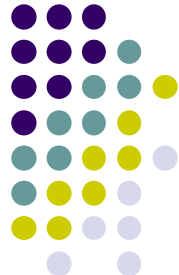
- U lokalnom koordinatnom sistemu mobilnog robota pogreške koordinata iznose:

$$\begin{bmatrix} e_1 \\ e_2 \\ e_3 \end{bmatrix} = \begin{bmatrix} \cos \theta & \sin \theta & 0 \\ -\sin \theta & \cos \theta & 0 \\ 0 & 0 & 1 \end{bmatrix} \begin{bmatrix} x_r - x \\ y_r - y \\ \theta_r - \theta \end{bmatrix}$$

odnosno:

$$\boldsymbol{e} = \boldsymbol{T}_p (\boldsymbol{q}_r - \boldsymbol{q})$$

- Da bi se dobio dinamički model pogreške slijedenja potrebno je derivirati gornji izraz.



# Upravljanje dinamičkim modelom

## Princip slijedenja virtualnog (referentnog) robota.

- Deriviranjem se dobiva:

$$\begin{aligned}\dot{e}_1 &= (\dot{x}_r - \dot{x}) \cos \theta - (x_r - x) \sin \theta \cdot \dot{\theta} + (\dot{y}_r - \dot{y}) \sin \theta + (y_r - y) \cos \theta \cdot \dot{\theta} \\ &= (v_r \cos \theta_r - v \cos \theta) \cos \theta - (x_r - x) \sin \theta \cdot \dot{\theta} + (v_r \sin \theta_r - v \sin \theta) \sin \theta + (y_r - y) \cos \theta \cdot \dot{\theta} \\ &= v_r \cos \theta_r \cos \theta - v \cos^2 \theta - (x_r - x) \sin \theta \cdot \dot{\theta} + v_r \sin \theta_r \sin \theta - v \sin^2 \theta + (y_r - y) \cos \theta \cdot \dot{\theta} \\ &= (- (x_r - x) \sin \theta + (y_r - y) \cos \theta) \dot{\theta} - v(\cos^2 \theta + \sin^2 \theta) + v_r (\cos \theta_r \cos \theta - \sin \theta_r \sin \theta) \\ &= \omega y_e - v + v_r \cos \theta_e\end{aligned}$$

$$\begin{aligned}\dot{e}_2 &= -(\dot{x}_r - \dot{x}) \sin \theta - (x_r - x) \cos \theta \cdot \dot{\theta} + (\dot{y}_r - \dot{y}) \cos \theta - (y_r - y) \sin \theta \cdot \dot{\theta} \\ &= -(v_r \cos \theta_r - v \cos \theta) \sin \theta - (x_r - x) \cos \theta \cdot \dot{\theta} + (v_r \sin \theta_r - v \sin \theta) \cos \theta - (y_r - y) \sin \theta \cdot \dot{\theta} \\ &= -v_r \cos \theta_r \sin \theta + v \cos \theta \sin \theta - (x_r - x) \cos \theta \cdot \dot{\theta} + v_r \sin \theta_r \cos \theta - v \sin \theta \cos \theta - (y_r - y) \sin \theta \cdot \dot{\theta} \\ &= -((x_r - x) \cos \theta + (y_r - y) \sin \theta) \dot{\theta} + v_r (\sin \theta_r \cos \theta - \cos \theta_r \sin \theta) \\ &= -\omega x_e + v_r \sin \theta_e\end{aligned}$$

$$\dot{e}_3 = \dot{\theta}_r - \dot{\theta} = \omega_r - \omega$$



# Upravljanje dinamičkim modelom

## Princip slijedenja virtualnog (referentnog) robota.

- Prema tome, model pogreške slijedenja glasi:

$$\begin{aligned}\dot{e}_1 &= \omega y_e - v + v_r \cos \theta_e \\ \dot{e}_2 &= -\omega x_e + v_r \sin \theta_e \\ \dot{e}_3 &= \omega_r - \omega\end{aligned}$$

Dinamika pogreške predstavlja nelinearan dinamički sistem

- Izborom upravljačkih ulaza  $\mathbf{u} = [u_1 \ u_2]^T$  dobiva se:

$$\begin{aligned}\dot{e}_1 &= \omega e_2 + u_1 \\ \dot{e}_2 &= -\omega e_1 + v_r \sin e_3 \\ \dot{e}_3 &= u_2\end{aligned}$$

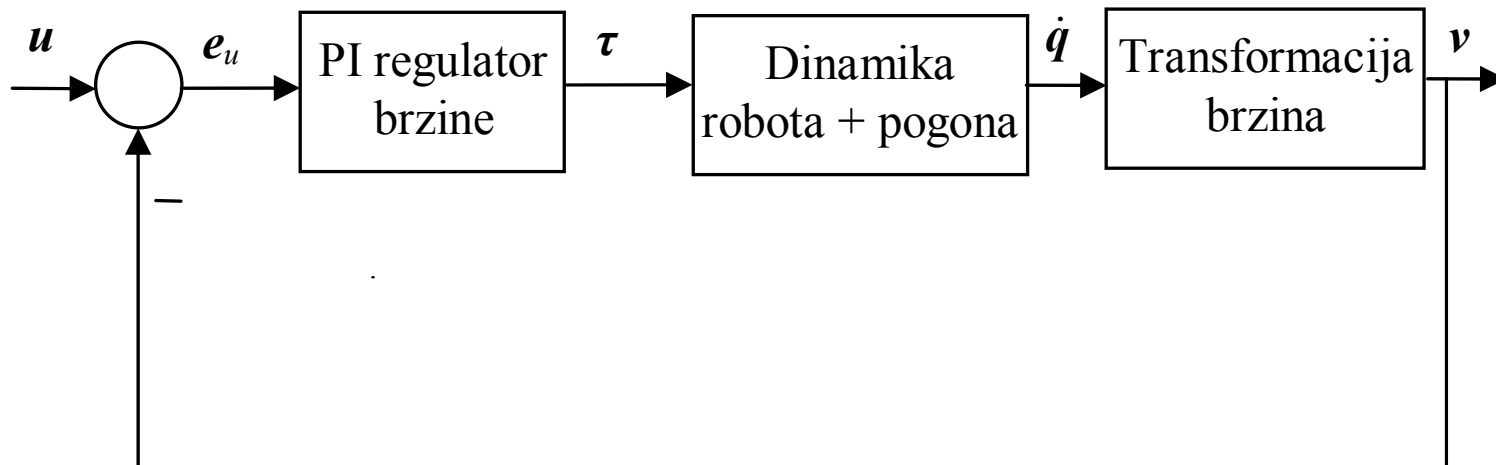
- Zadatak je dizajnirati nelinearni upravljački zakon  $\mathbf{u}=f(\mathbf{e})$  takav da **cjelokupni sistem bude stabilan**, te da **pogreške pozicije i brzine konvergiraju ka nuli**.



# Upravljanje dinamičkim modelom

## Sinteza regulatora brzine

- Prije negoli se pređe na pronalaženje upravljačkog zakona za poziciju, izvršit će se sinteza regulatora brzine.
- Unutarnja regulacijska petlja linijskih i ugaonih brzina.



- Regulator brzine ima dva ulaza i dva izlaza.
- Ulazi su greške linijskih i ugaonih brzina  $e_v$  i  $e_\omega$ , a izlazi momenti pogona lijevog i desnog kotača  $\tau_L$  i  $\tau_R$ .



# Upravljanje dinamičkim modelom

## Sinteza regulatora brzine

- Veza između vektora  $\dot{q}$  i brzine robota  $v$  dana je relacijom:

$$\dot{q} = S(q)v$$

odnosno:

$$\begin{bmatrix} \dot{x} \\ \dot{y} \\ \dot{\theta} \end{bmatrix} = \begin{bmatrix} \cos \theta & -\sin \theta \\ \sin \theta & \cos \theta \\ 0 & 1 \end{bmatrix} \begin{bmatrix} v \\ \omega \end{bmatrix}$$

- Izrazi za linijske i ugaone brzine mobilnog robota su:

$$v = \sqrt{\dot{x}^2 + \dot{y}^2}$$

$$\omega = \dot{\theta}$$

# Upravljanje dinamičkim modelom

## Sinteza regulatora brzine

- Multivarijabilni PI regulator linijske i ugaone brzine opisan je sljedećom jednadžbom u Laplaceovoj domeni:

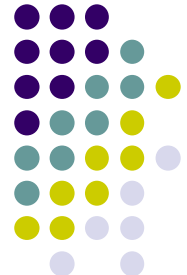
$$\boldsymbol{\tau}(s) = \begin{bmatrix} \tau_R(s) \\ \tau_L(s) \end{bmatrix} = \frac{r}{D} \mathbf{G}(s) e_u(s) = \frac{r}{D} \begin{bmatrix} G_{11}(s) & G_{12}(s) \\ G_{21}(s) & G_{22}(s) \end{bmatrix} \begin{bmatrix} e_v(s) \\ e_\omega(s) \end{bmatrix}$$

gdje je  $e_v(s)$  greška linijske brzine i  $e_\omega(s)$  pogreška ugaone brzine mobilnog robota.

- Elementi  $G_{ij}(s)$  su odabrani na sljedeći način:

$$G_{11}(s) = K_1 \frac{D}{2} \left(1 + \frac{1}{T_{i1}s}\right), \quad G_{12}(s) = K_2 \left(1 + \frac{1}{T_{i2}s}\right)$$

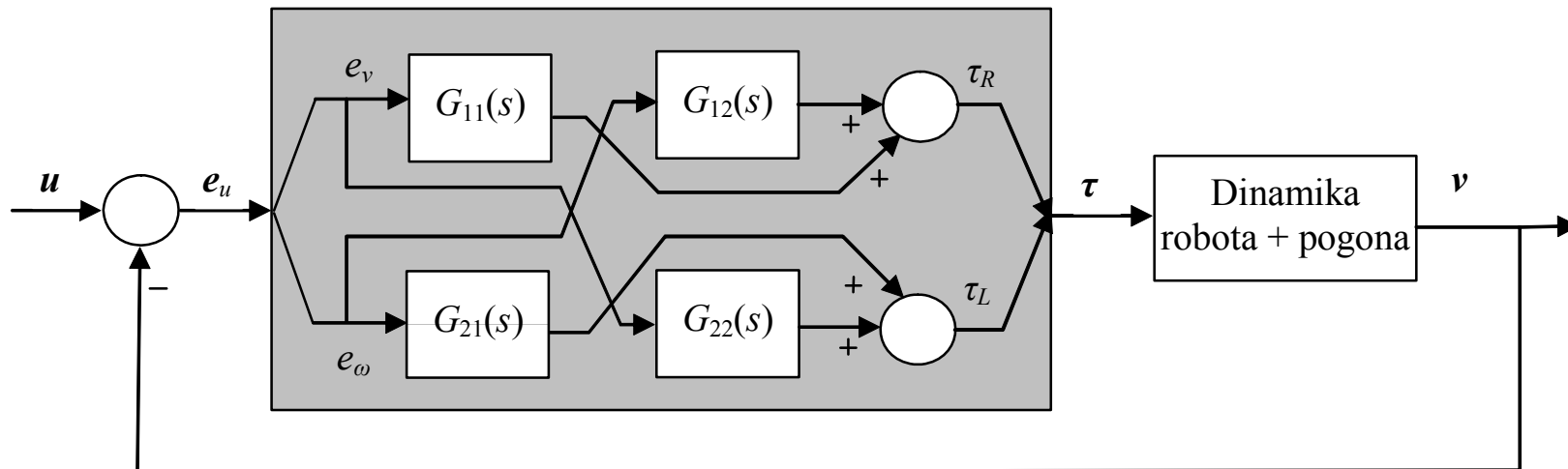
$$G_{21}(s) = K_1 \frac{D}{2} \left(1 + \frac{1}{T_{i1}s}\right), \quad G_{22}(s) = -K_2 \left(1 + \frac{1}{T_{i2}s}\right)$$



# Upravljanje dinamičkim modelom

## Sinteza regulatora brzine

- Regulacijska petlja brzine sa PI regulatorom:



- Parametri PI regulatora su:

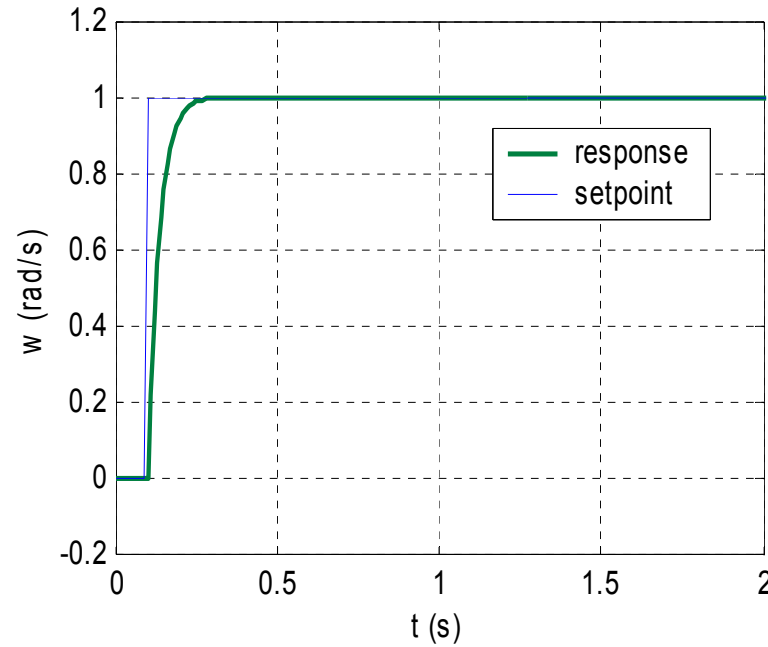
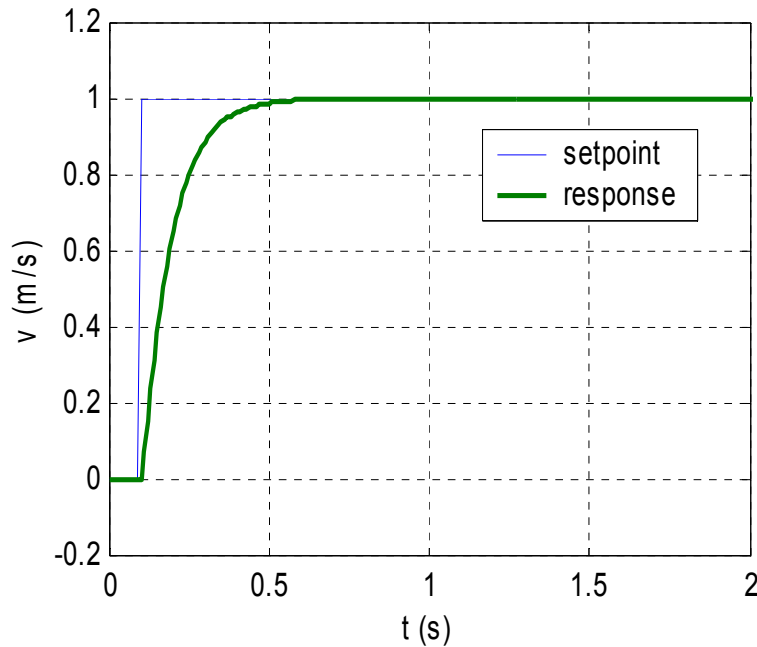
$K_1$	$K_2$	$T_{i1}$	$T_{i2}$
100	60	20	20
- Efikasnost projektiranog multivarijabilnog PI brzinskog regulatora testirat će se pomoću skokovitih pobudnih funkcija, koje će respektivno predstavljati linijsku i ugaonu brzinu.



# Upravljanje dinamičkim modelom

## Sinteza regulatora brzine

- Rezultati simulacija



Dobro slijedenje referentnih trajektorija linijskih i ugaonih brzina.  
Bolje slijedenje ugaone brzine.



# Upravljanje dinamičkim modelom

## Sinteza regulatora pozicije

- Kao regulator pozicije koristi se backstepping algoritam u sljedećem zapisu [Lačević & Velagić, 2006]:

$$\begin{aligned} u_1 &= -\alpha p e_1 \cdot f(\mathbf{x}) \\ u_2 &= -\frac{2\alpha p}{q} (e_1^2 + e_2^2)^{\alpha-1} v_r e_2 - q \sin e_3 \cdot g(\mathbf{x}) \end{aligned} \quad (*)$$

gdje su  $p$  i  $q$  pozitivne realne konstante,  $\alpha > 1$  i  $f(x)$  i  $g(x)$  su funkcije vektora  $\mathbf{x} \in \mathbf{R}^m$ ,  $m \in N$ , koje zadovoljavaju uvjet:  $\exists L > 0: f(x), g(x) \geq L, \forall x \in \mathbf{R}^m$ .

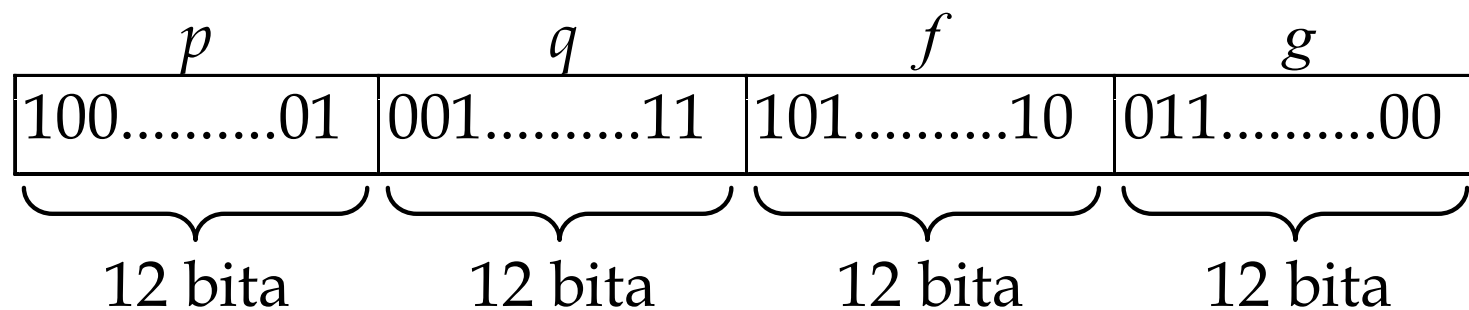
- Ovaj upravljački zakon osigurava stabilnost slijedenja pozicije (teorem i dokaz teorema su u [Velagić, Lačević & Osmić, “Nonlinear motion control of mobile robot dynamic model”, book chapter in *Motion planing and control of mobile robot: New Challenges*, Vienna, 2008].



# Upravljanje dinamičkim modelom

## Sinteza regulatora pozicije

- Nepoznati parametri  $p$ ,  $q$ ,  $f$  i  $g$  upravljačkog algoritma odredit će se pomoću genetskog algoritma (pretpostavka je da su funkcije  $f$  i  $g$  konstantne).
- Svi navedeni parametri se kodiraju u binarni kromosom, pri čemu je svaki parametar predstavljen sa jednakim brojem bita.
- Struktura kromosoma predstavljena je na slici.



# Upravljanje dinamičkim modelom

## Sinteza regulatora pozicije

- Broj bita zapisanih u kromosomu je 48. Binarni broj se dekodira u realni pomoću sljedeće jednadžbe:

$$k_{\alpha} = k_{\min} + \frac{b}{(2^n - 1)} (k_{\max} - k_{\min})$$

gdje su  $k_{\min}$  i  $k_{\max}$  donja i gornja granica vrijednosti parametra  $k_{\alpha}$  (u našem slučaju to su parametri  $p$ ,  $q$ ,  $f$  i  $g$ ),  $n$  je broj bita i  $b$  binarni broj zapisan na sljedeći način:

$$b = \sum_{i=0}^{n-1} B_i 2^i$$



# Upravljanje dinamičkim modelom

## Sinteza regulatora pozicije

- Dekodiranjem se binarni broj pretvara u potencijalno rješenje u intervalu  $[k_{min}, k_{max}]$ .
- Za svaku jedinku unutar kromosoma predlaže se sljedeća funkcija cilja [Velagić, Lačević i Peruničić, 2006]:

$$F = \sum_{i=1}^3 \left[ a_i \int_0^{t_s} \ln(1 + |e_i(t)|) dt \right] + a_R \cdot \max_{t \in [0, t_s]} (\tau_R(t)) + a_L \cdot \max_{t \in [0, t_s]} (\tau_L(t))$$

gdje su:  $a_1 = 1$ ,  $a_2 = 5$ ,  $a_3 = 1$ ,  $t_s = 16$ ,  $a_R = a_L = 1$

- Iz gornjeg izraza slijedi da bolje jedinke poprimaju manje vrijednosti  $F$ -a. Drugi dio izraza ima zadatak da "sankcionira" (reducira) velike iznose pogonskih (upravljačkih) momenata.



# Upravljanje dinamičkim modelom

## Sinteza regulatora pozicije

- Za evoluciju koeficijenata koristi se funkcija u obliku lemniskate opisana sljedećim jednadžbama:

$$\boxed{\begin{aligned}x_r(t) &= \frac{a \sin(\alpha t)}{1 + \sin^2(\alpha t)} \\y_r(t) &= \frac{a \sin(\alpha t) \cos(\alpha t)}{1 + \sin^2(\alpha t)} \\\theta_r(t) &= \arctan\left(\frac{\dot{y}_r(\alpha t)}{\dot{x}_r(\alpha t)}\right)\end{aligned}}$$

gdje je  $\alpha$  pozitivan parametar.

- Lemniskata je složena funkcija i koeficijenti regulatora dobiveni evolucijom na temelju lemniskatne funkcije bi trebali dati dobre rezultate za slijedenje putanje u obliku bilo koje druge jednostavnije funkcije.

# Upravljanje dinamičkim modelom

## Sinteza regulatora pozicije

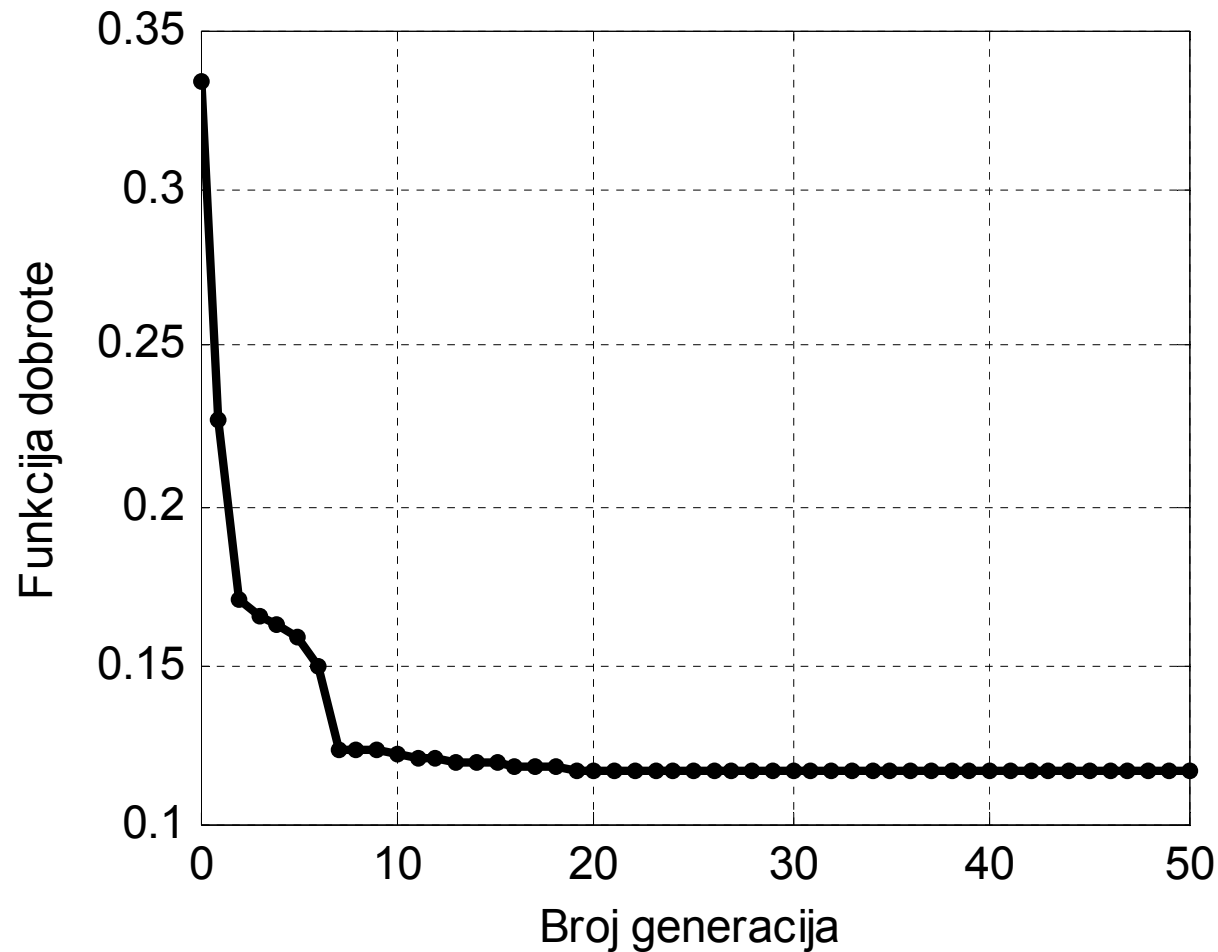
- Vrijednosti parametara gornje jednadžbe za potrebe evolucije su  $a=1$  i  $\alpha=1$ .
- Za evoluciju parametara backstepping regulatora se koristi standardni genetski algoritam sa veličinom populacije od 51 jedinke, turnirskom selekcijom, uniformnim križanjem, bitovnom mutacijom sa elitizmom (čuvanje najbolje jedinke).
- U simulaciji se za grešku orijentacije  $e_\theta(t)$  koristi sljedeća funkcija:

$$e_\theta = \begin{cases} \theta_r - \theta, & \text{ako je } |\theta_r - \theta| < \min(|\theta_r - \theta - 2\pi|, |\theta_r - \theta + 2\pi|) \\ \theta_r - \theta - 2\pi, & \text{ako je } |\theta_r - \theta - 2\pi| < \min(|\theta_r - \theta|, |\theta_r - \theta + 2\pi|) \\ \theta_r - \theta + 2\pi, & \text{ako je } |\theta_r - \theta + 2\pi| < \min(|\theta_r - \theta|, |\theta_r - \theta - 2\pi|) \end{cases}$$

# Upravljanje dinamičkim modelom

## Sinteza regulatora pozicije

- Dijagram odvijanja procesa evolucije prikazan je na sljedećoj slici.





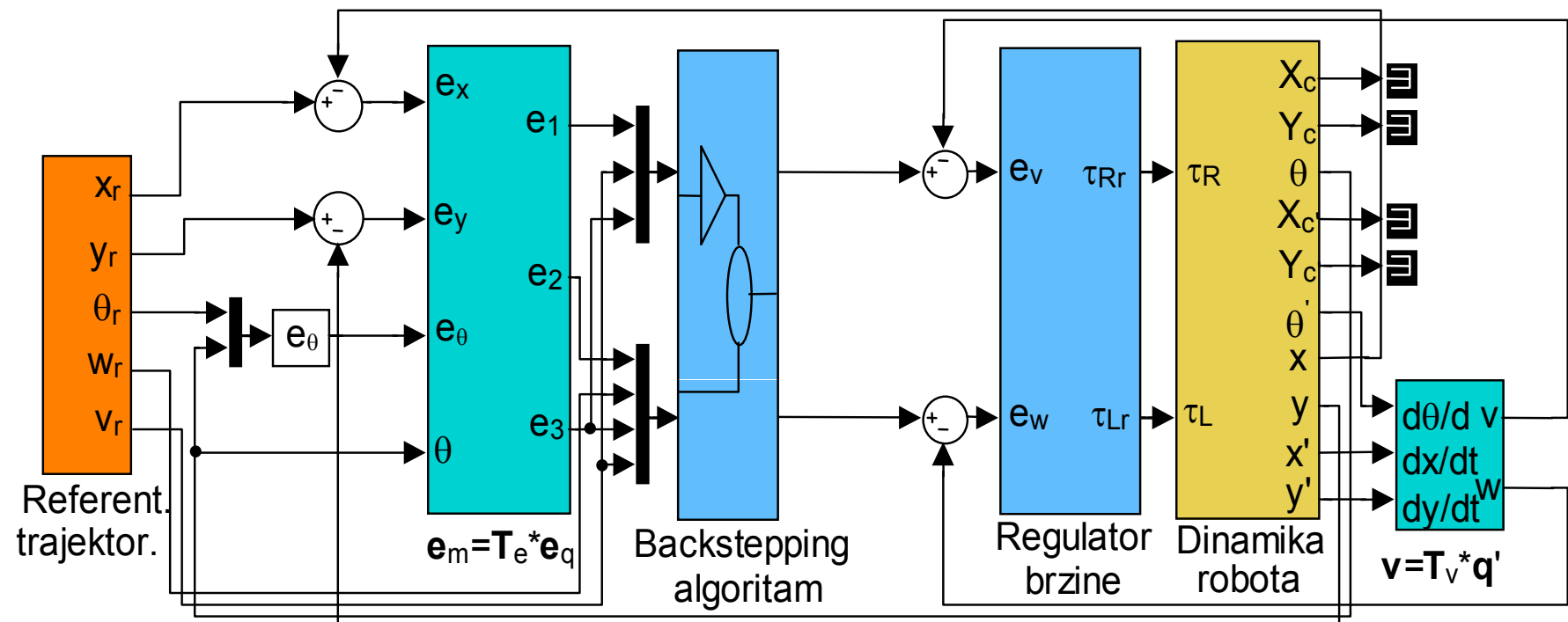
# Upravljanje dinamičkim modelom

## Sinteza regulatora pozicije

- Parametri nelinearnog backstepping algoritma dobiveni primjenom opisanog genetskog algoritma su:

$$p = 1.9934, \quad q = 0.0530, \quad f = 9.8615, \quad g = 2.9956,$$

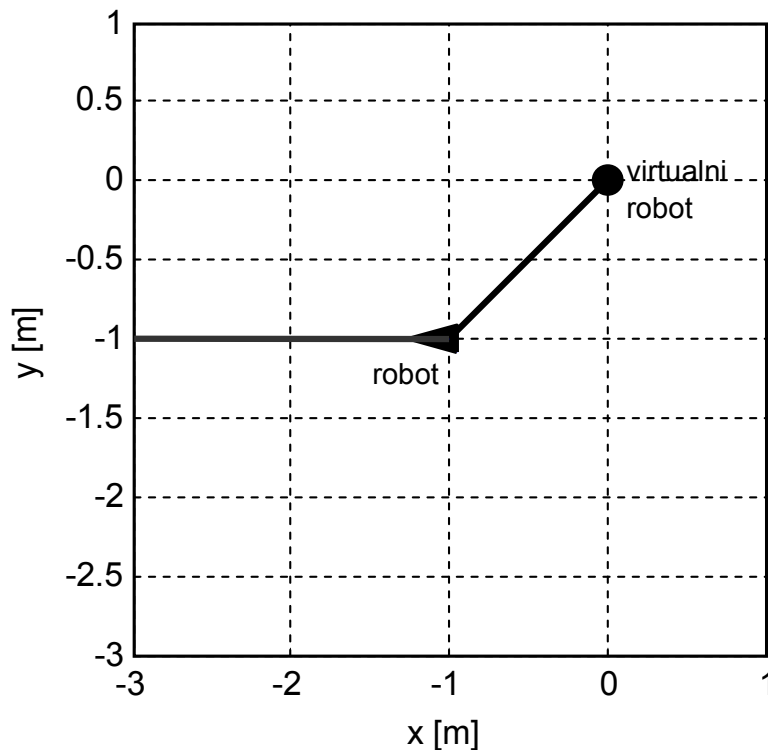
Sistem upravljanja pozicijom i brzinom robota u Simulinku:



# Upravljanje dinamičkim modelom

## Sinteza regulatora pozicije

- Glavni nedostatak predloženog backstepping regulatora je što na početku slijedenja virtualnog robota upravljački momenti rapidno rastu ako inicijalna pozicija virtualnog (referentnog) robota ne pripada pravcu koji je određen pozicijom robota i njegovom inicijalnom orientacijom.



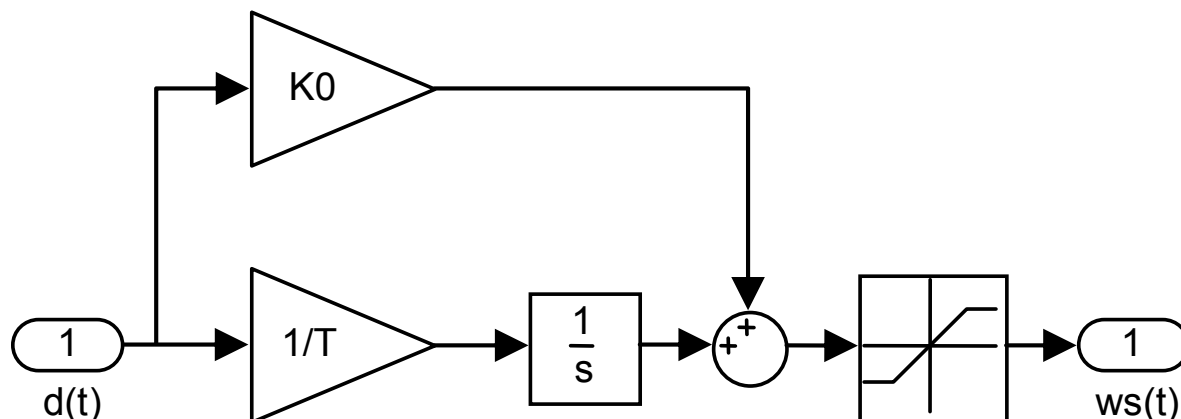
Jedan od načina rješavanja navedenog nedostatka je modificiranje upravljačkog zakona (\*), odnosno njegova hibridizacija.

## 11.4. Hibridni backstepping regulator

- Modifikacija upravljačkog zakona (\*) se obavlja pomoću sljedećih izraza [Lačević i Velagić, 2005]:

$$\begin{aligned}\bar{u}_1(t) &= \alpha(t)u_1(t) \\ \bar{u}_2(t) &= \alpha(t)u_2(t) + (1 - \alpha(t))\omega_s(t)\end{aligned}$$

- Funkcija  $\omega_s(t)$  se generira pomoću strukture prikazane na slici.





## Hibridni backstepping regulator

- Funkcija  $d(t)$  je dana sa:

$$d(t) = \text{sgn}(\text{atan2}(e_y(t), e_x(t)) - \theta(t))$$

dok je funkcija  $\alpha(t)$  određena sljedećom diferencijalnom jednadžbom:

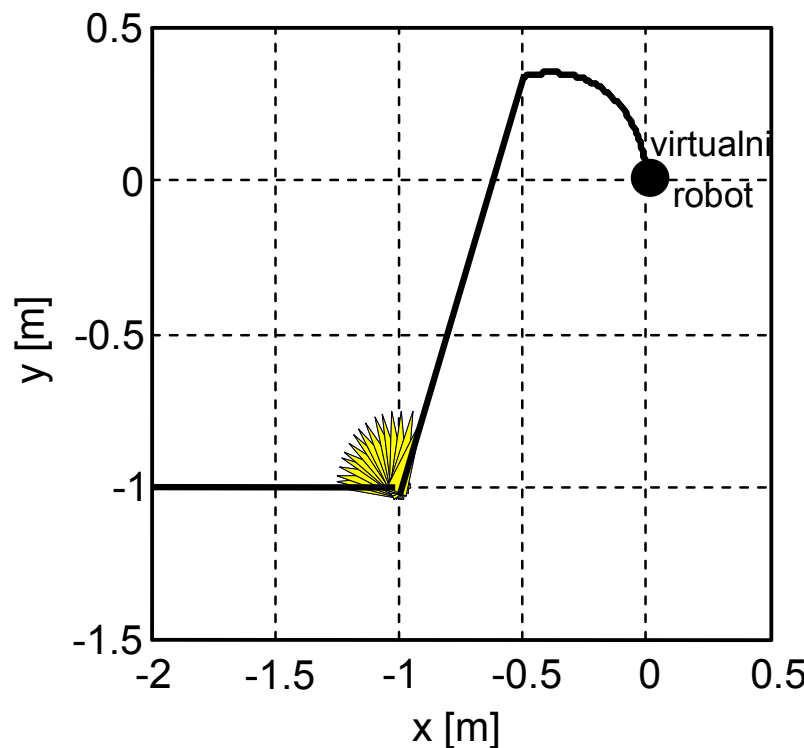
$$b_0 \frac{d^2\alpha(t)}{dt^2} + b_1 \frac{d\alpha(t)}{dt} + \alpha(t) = z(t)$$

gdje  $z(t)$  predstavlja skokovitu funkciju oblika:

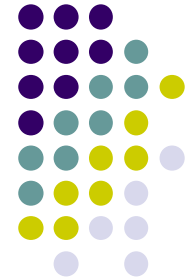
$$z(t) = \begin{cases} 1, & \text{AKO } \exists t_1 \in [0, t] : \theta(t_1) = \text{atan2}(e_y(t_1), e_x(t_1)) \\ 0, & \text{za ostale} \end{cases}$$

## Hibridni backstepping regulator

- Na ovaj način robot prvo rotira oko svoje osi sa povećanjem ugaone brzine  $\omega_s(t)$  dok ne "ugleda" virtualnog robota.
- Nakon toga robot započinje slijediti virtualnog robota, što je predviđeno sljedećom slikom.



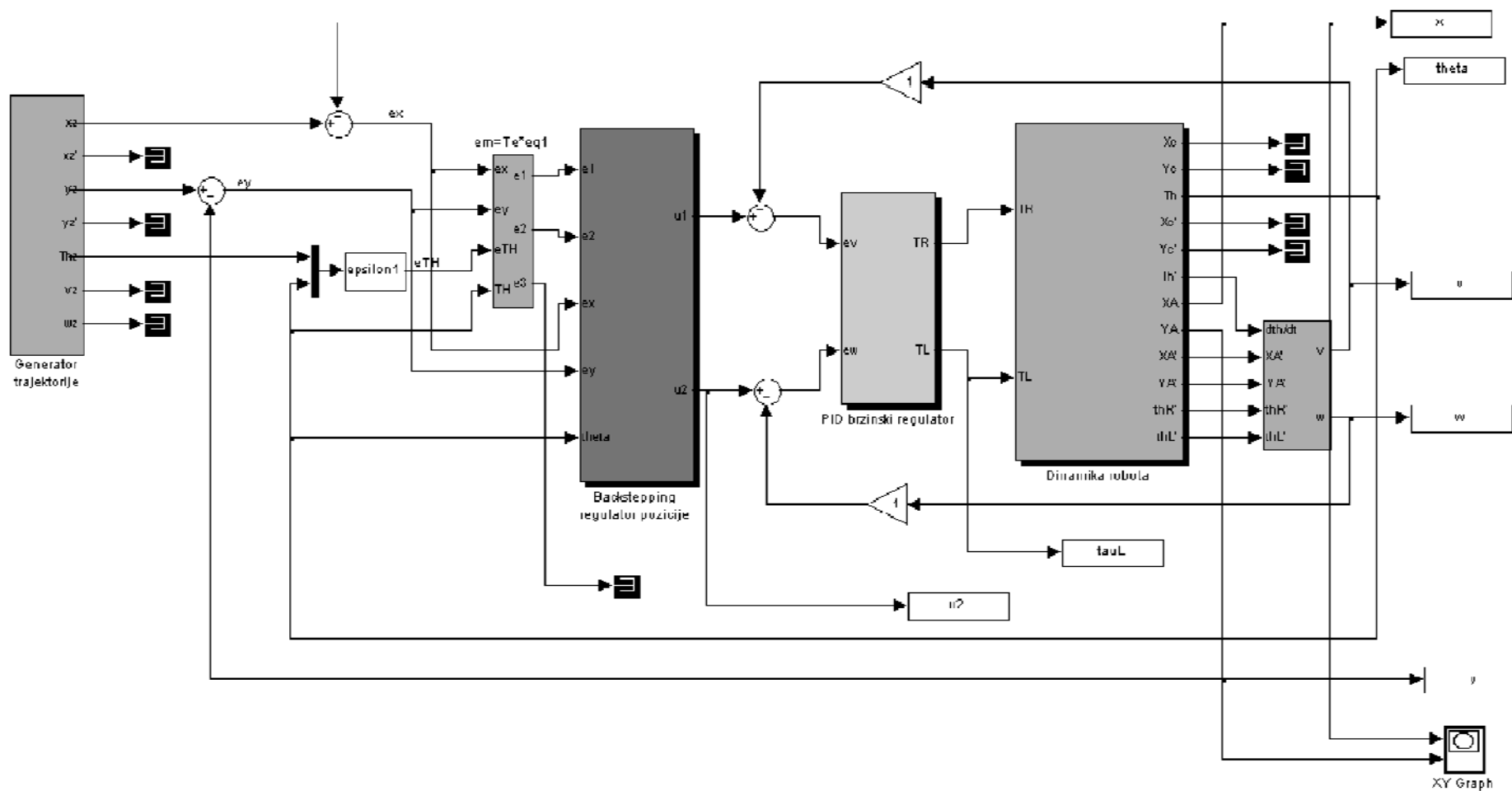
Usmjerenje mobilnog robota prema virtualnom robotu u početnoj konfiguraciji.



45/79

# Hibridni backstepping regulator

- Simulacijska shema

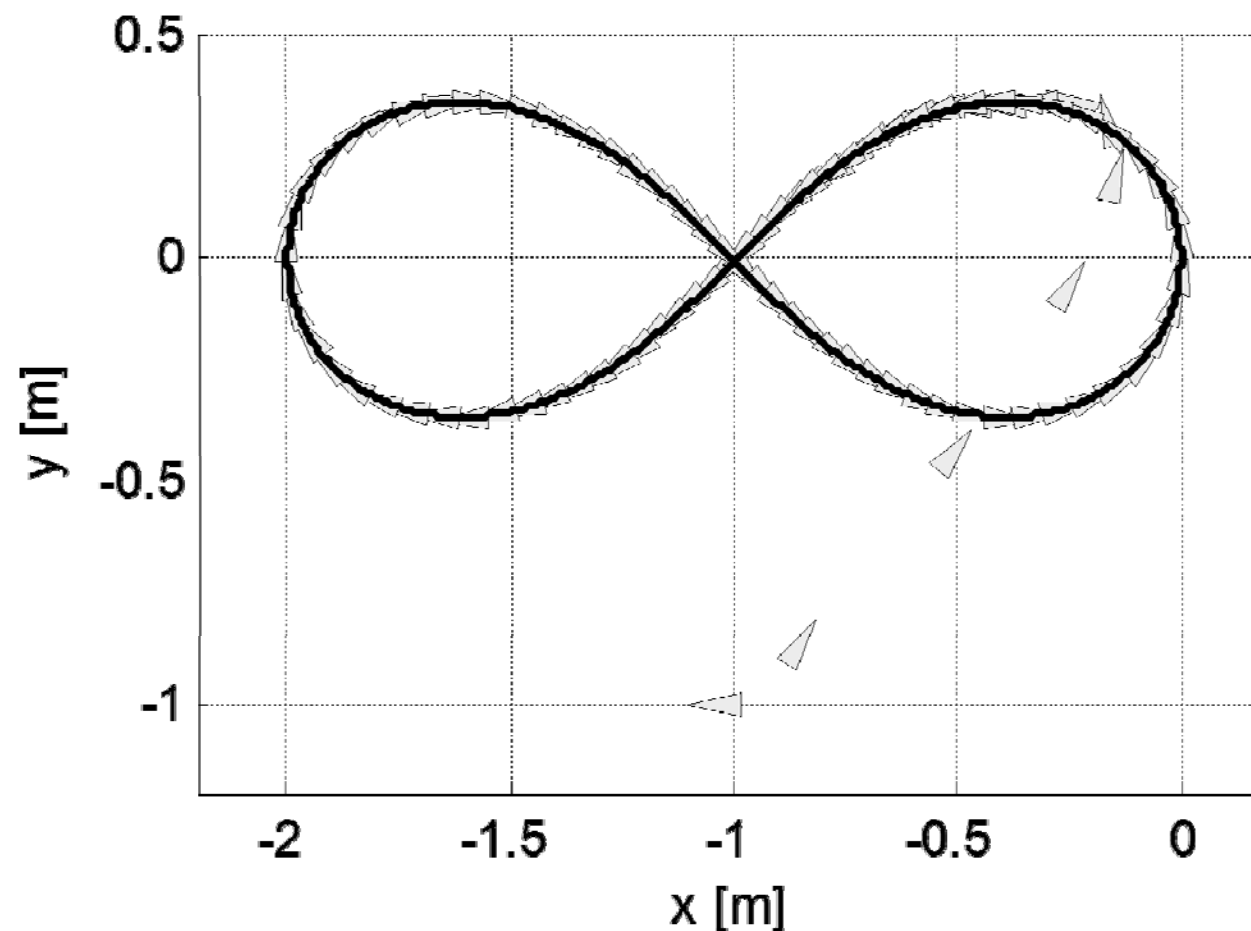




46/79

## Hibridni backstepping regulator

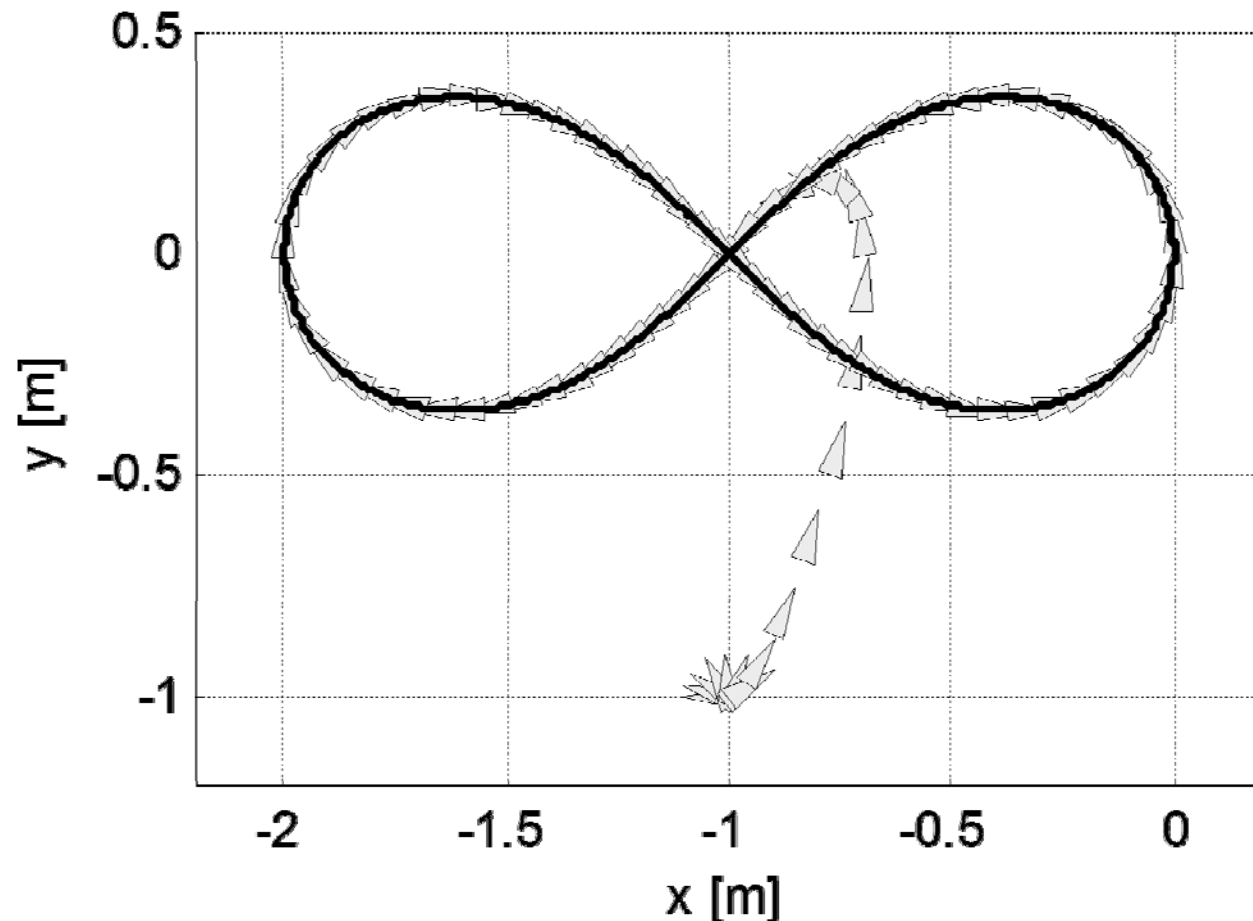
- Usporedba rezultata hibridnog i običnog backstepping regulatora





## Hibridni backstepping regulator

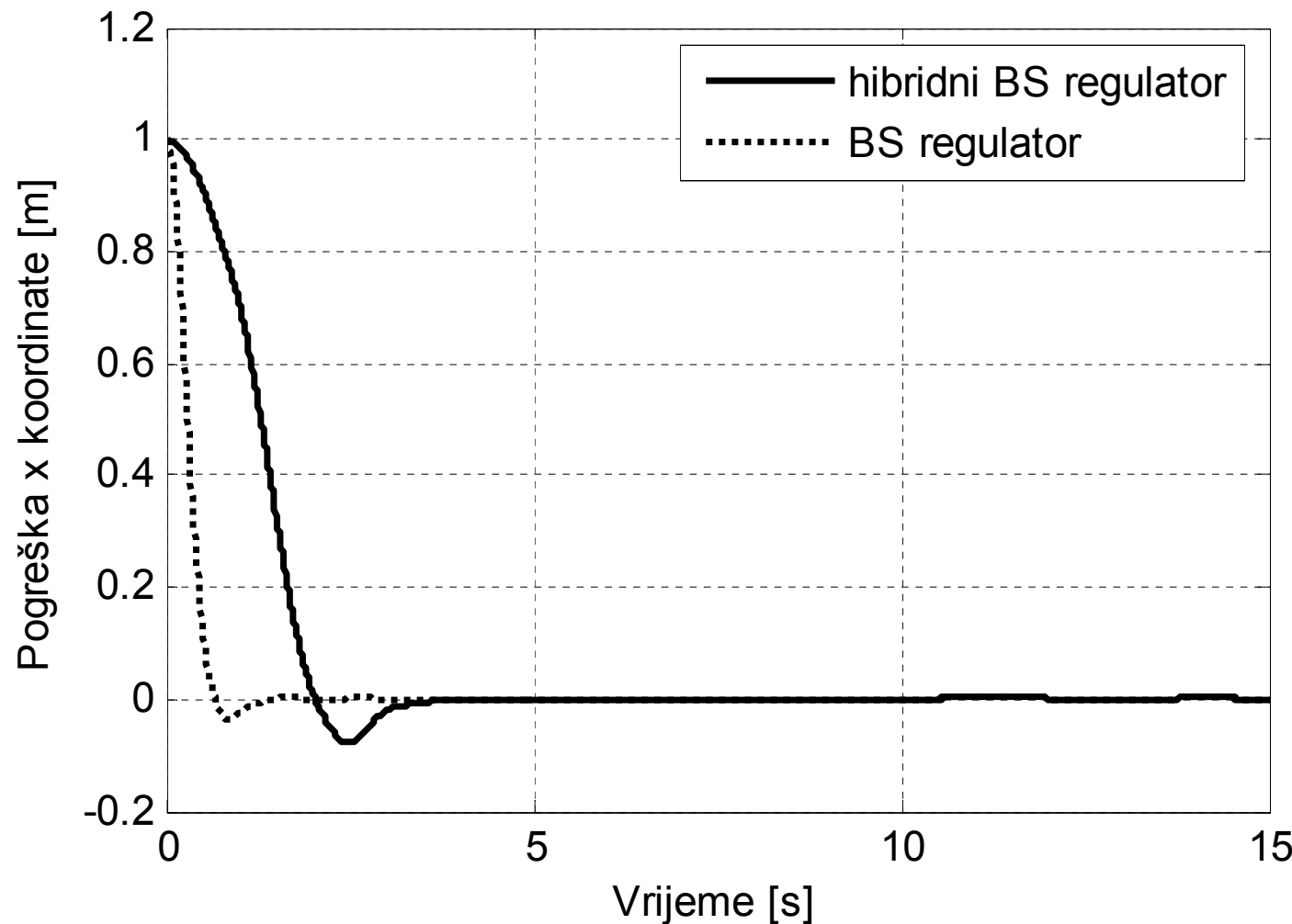
- Usporedba rezultata hibridnog i običnog backstepping regulatora





## Hibridni backstepping regulator

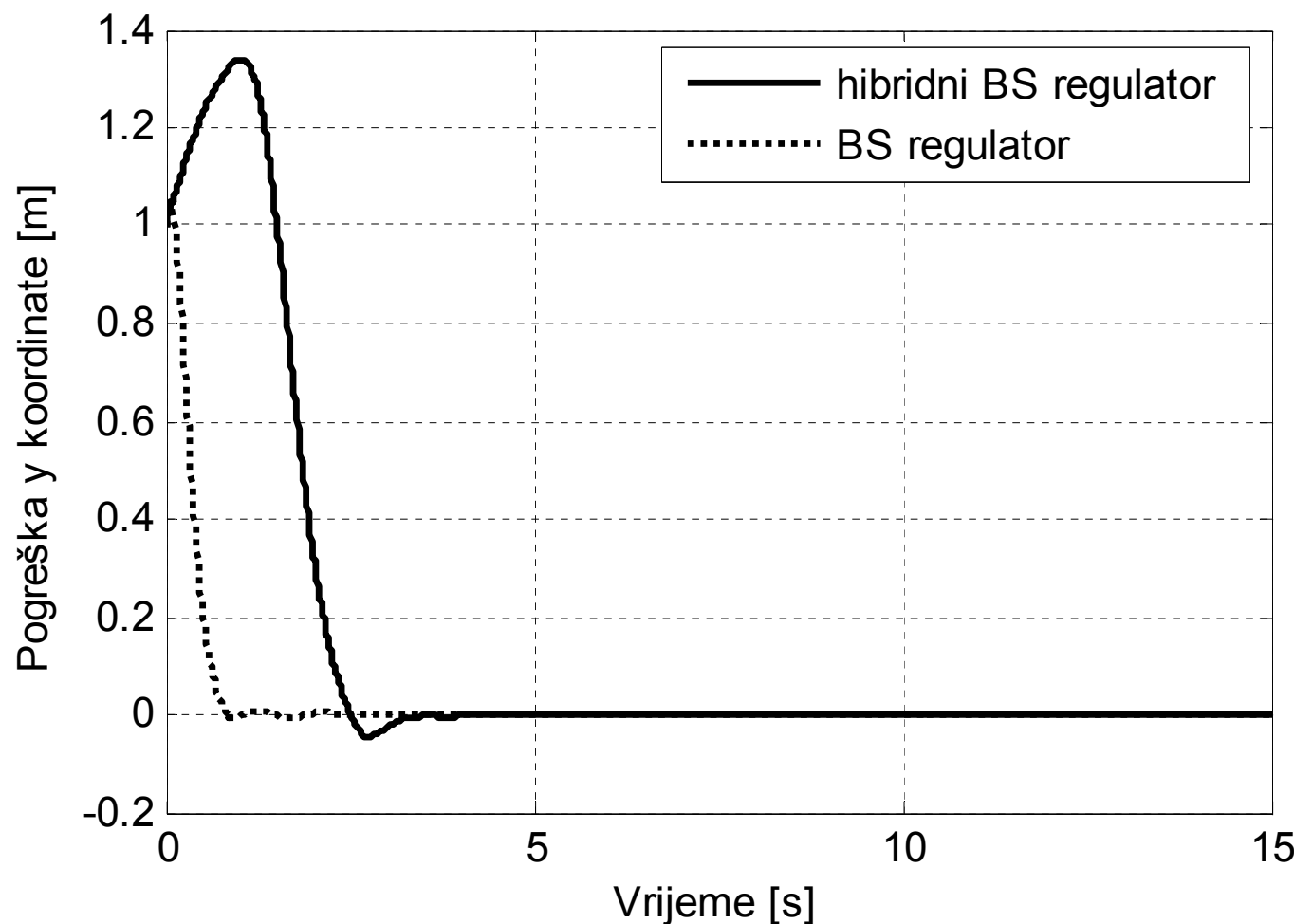
- Usporedba rezultata hibridnog i običnog backstepping regulatora





# Hibridni backstepping regulator

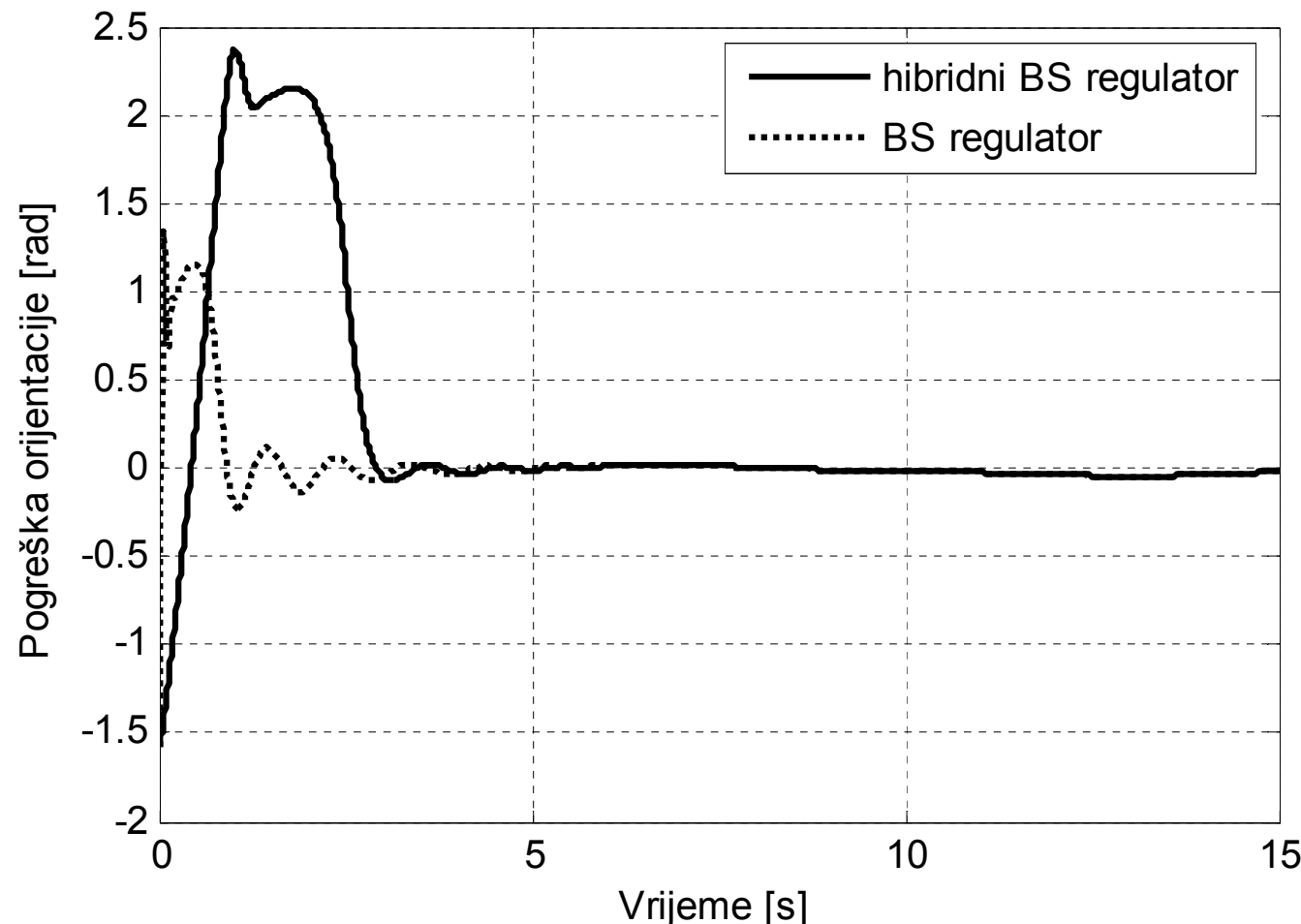
- Usporedba rezultata hibridnog i običnog backstepping regulatora

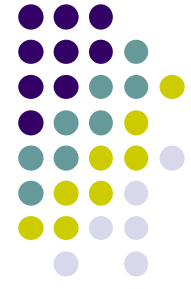




## Hibridni backstepping regulator

- Usporedba rezultata hibridnog i običnog backstepping regulatora

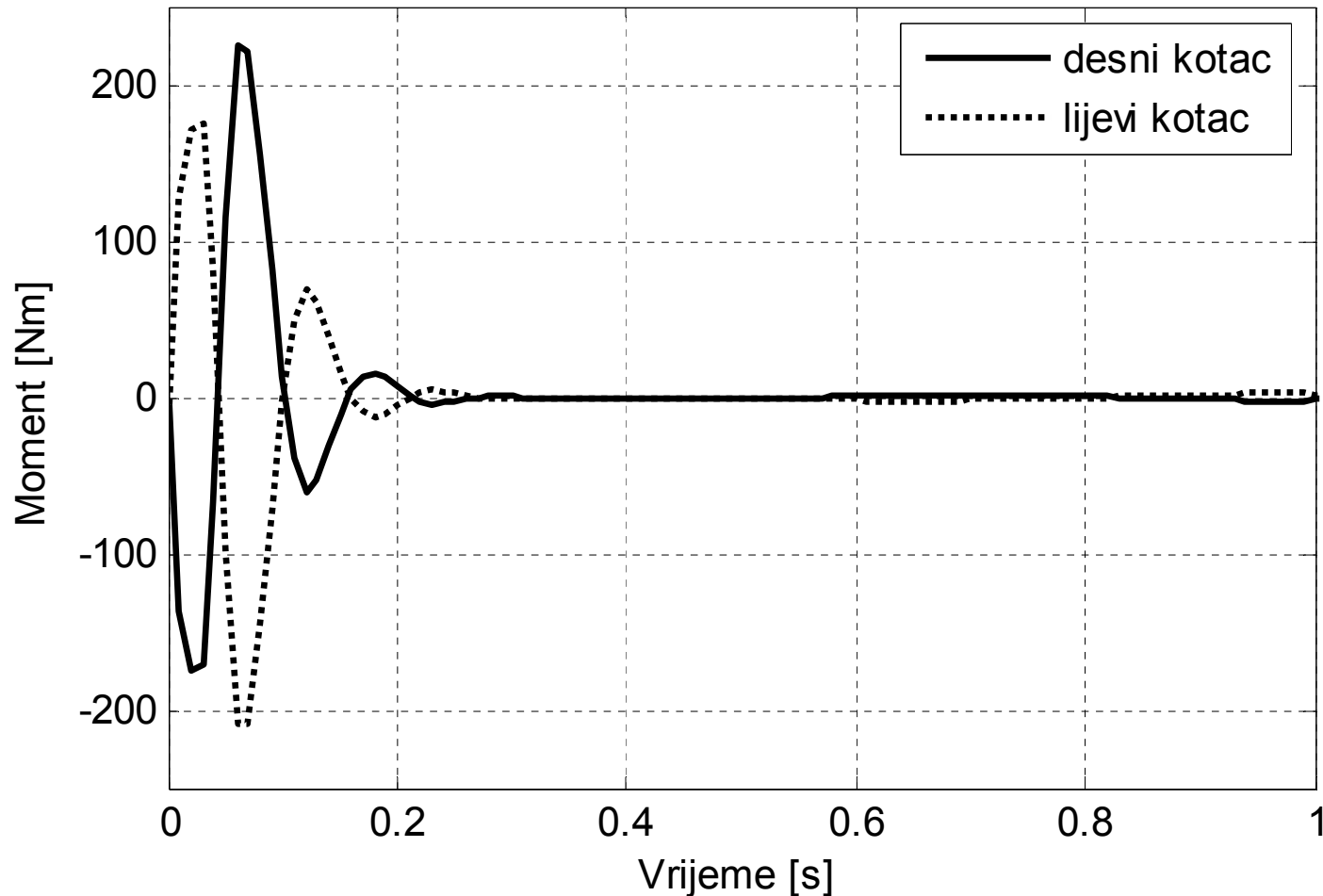




# Hibridni backstepping regulator

- Usporedba rezultata hibridnog i običnog backstepping regulatora

## Backstepping regulator

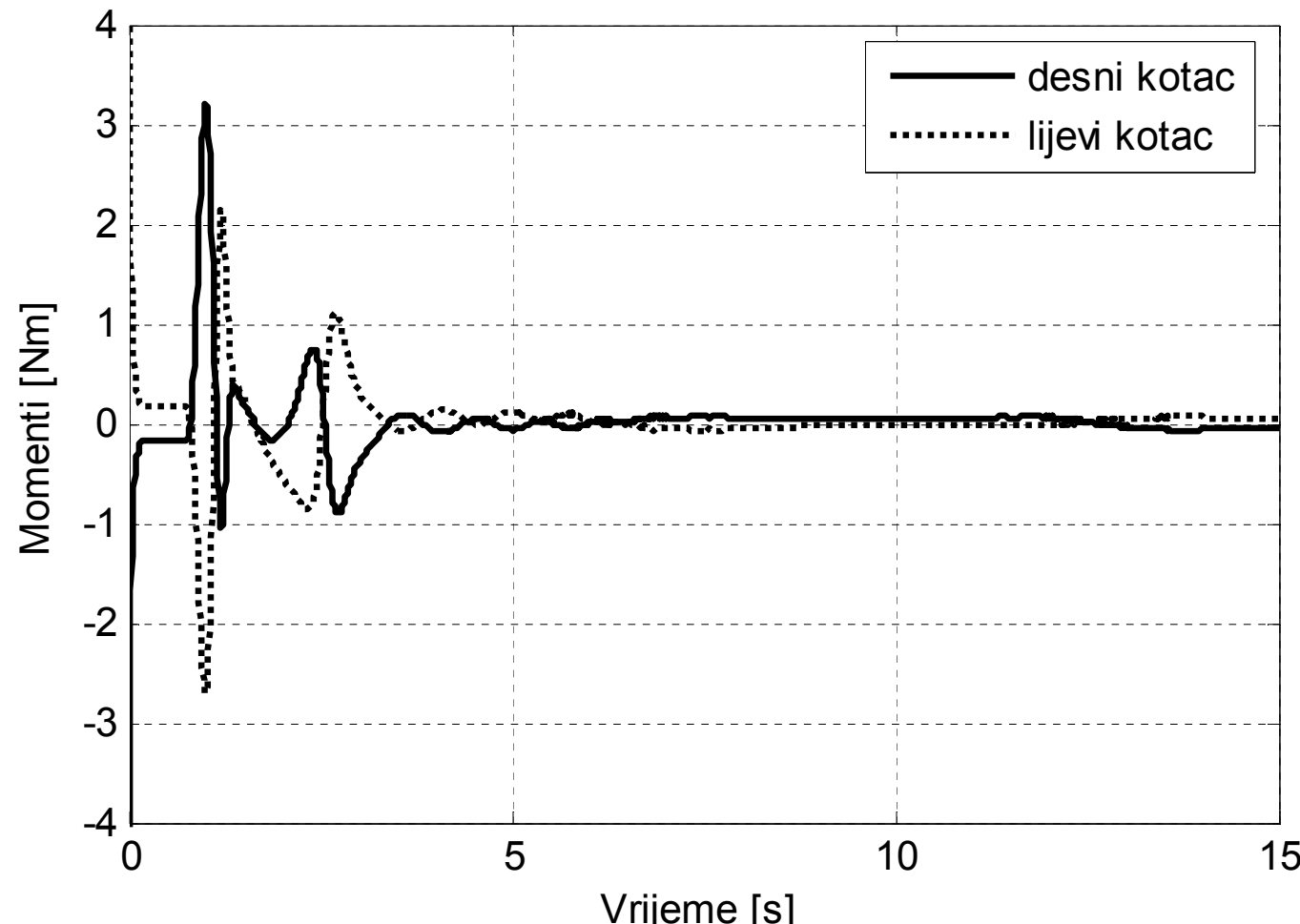




# Hibridni backstepping regulator

- Usporedba rezultata hibridnog i običnog backstepping regulatora

Hibridni backstepping regulator

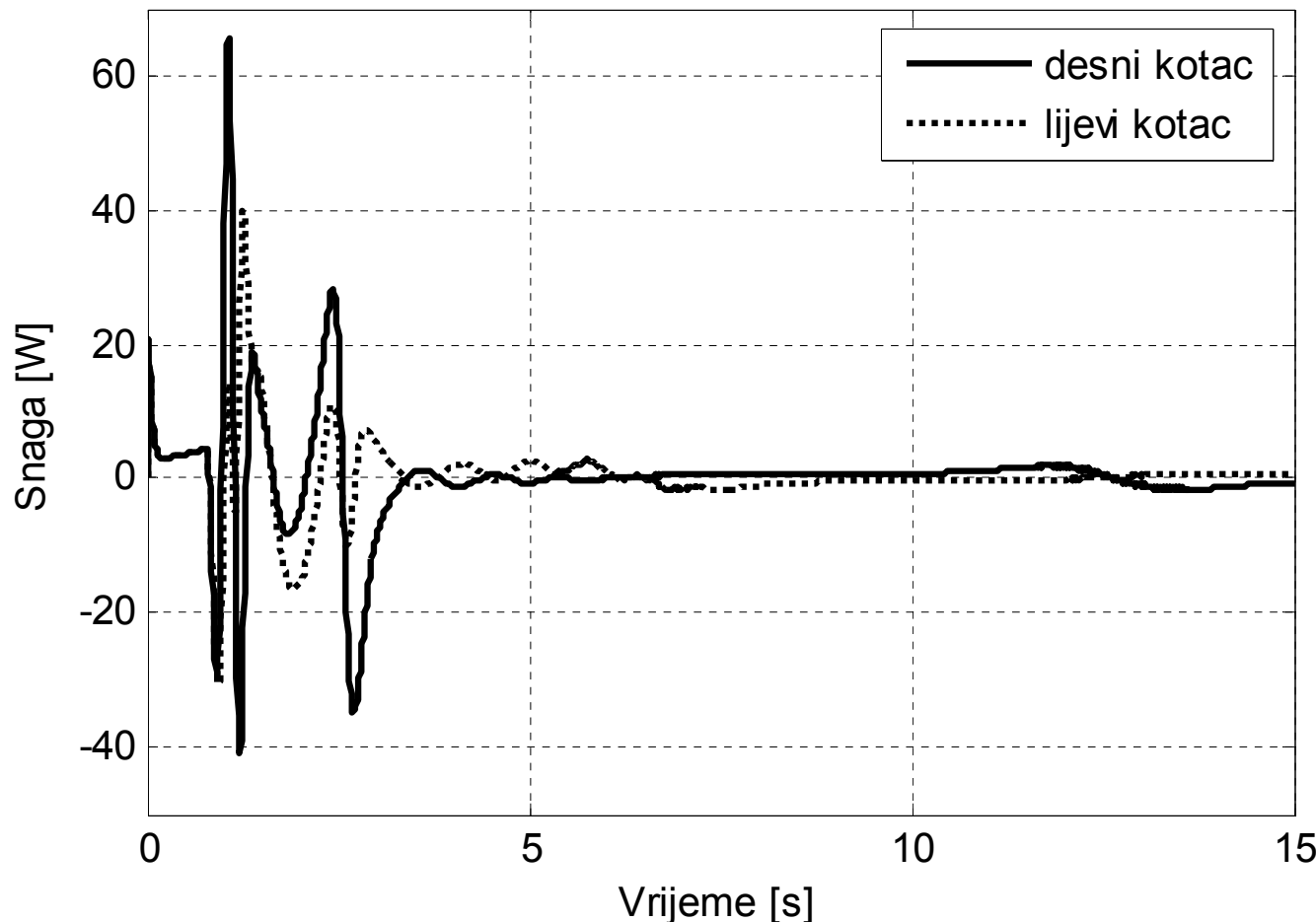




# Hibridni backstepping regulator

- Usporedba rezultata hibridnog i običnog backstepping regulatora

**Backstepping regulator**

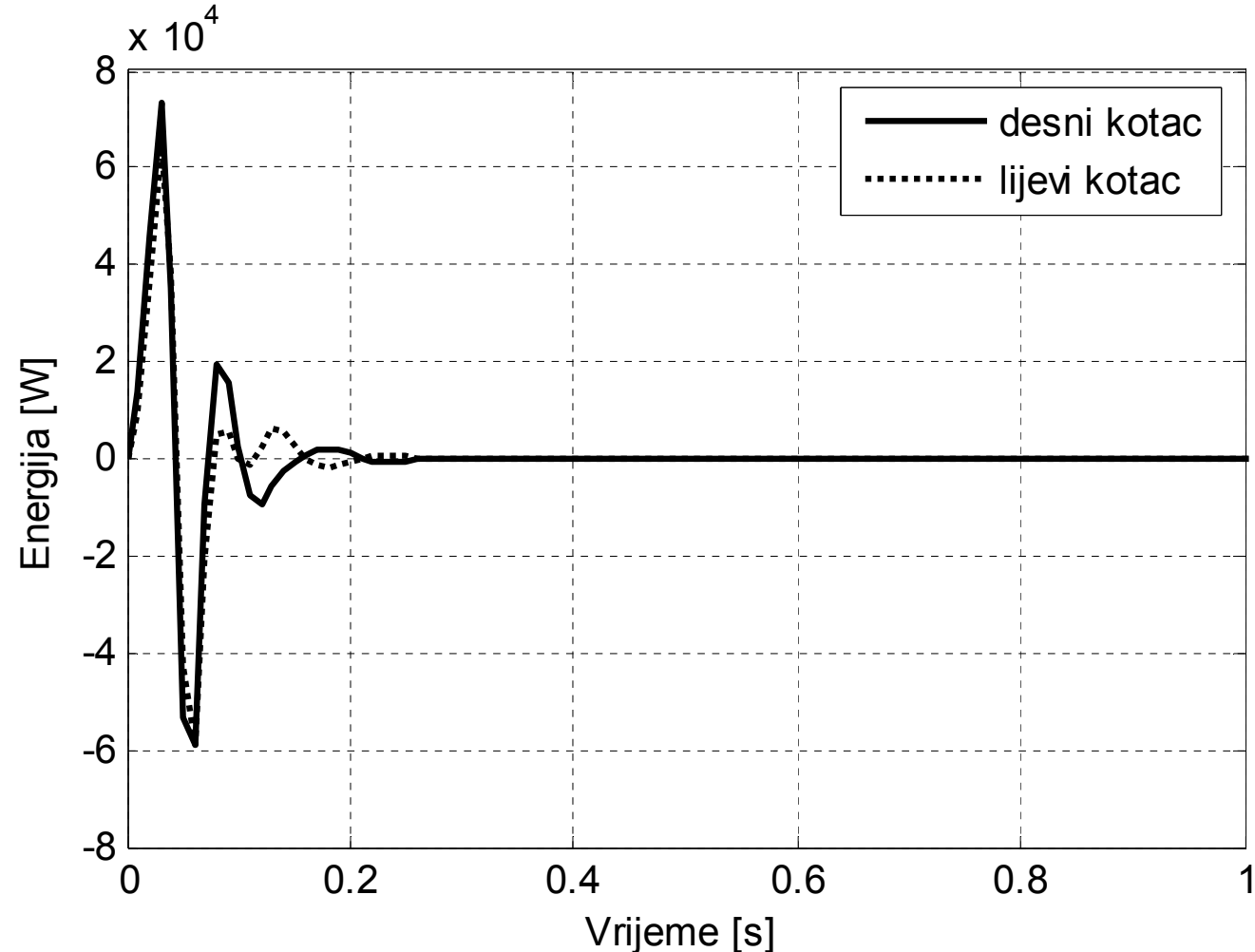




54/79

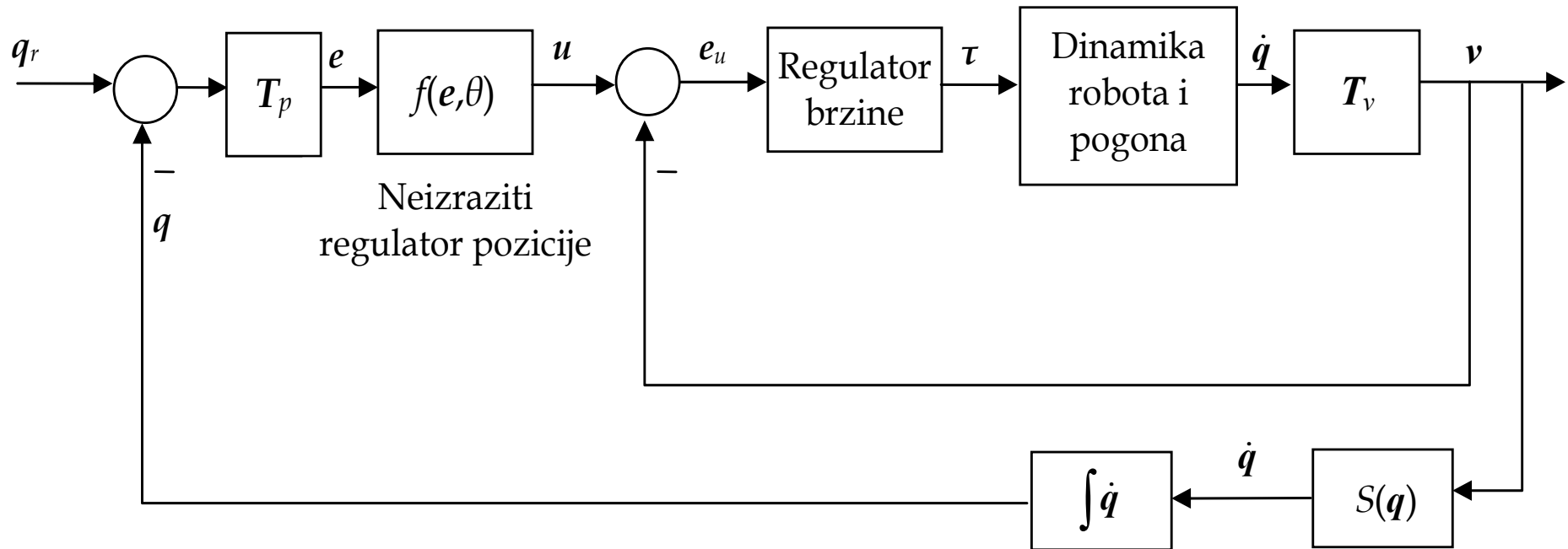
# Hibridni backstepping regulator

- Usporedba rezultata hibridnog i običnog backstepping regulatora



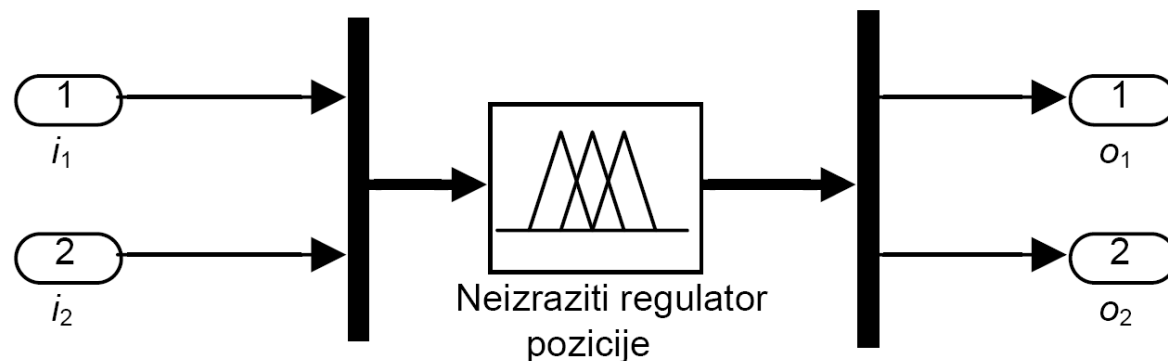
## 11.5. Neizraziti regulator pozicije

- U primjeru se razmatra dvorazinski sistem upravljanja mobilnim robotom [Lačević, Velagić i Osmić, 2007; Lačević i Velagić, 2011], prikazan na sljedećoj slici.
- Upravljački sistem se sastoji od podređene regulacijske petlje brzine mobilnog robota i nadređene regulacijske petlje pozicije mobilnog robota.



## Neizraziti regulator pozicije

- U nastavku će biti prikazana sinteza neizrazitog regulatora pozicije koji osigurava kvalitetno praćenje zadane trajektorije, uz relativno male norme aktuacijskih veličina.
- Odabrana je Sugenova konfiguracija nultog reda sadva ulaza i dva izlaza [Lačević, Velagić i Osmić, 2007; Lačević i Velagić, 2011] prikazana na slici.





## Neizraziti regulator pozicije

- Ulazi  $i_1$  i  $i_2$  su odabrani na sljedeći način:

$$i_1 = \sqrt{e_1^2 + e_2^2} = \sqrt{e_x^2 + e_y^2}$$

$$i_2 = f(\text{atan2}(e_y, e_x) - \theta)$$

- gdje je funkcija  $f$  dana sa:

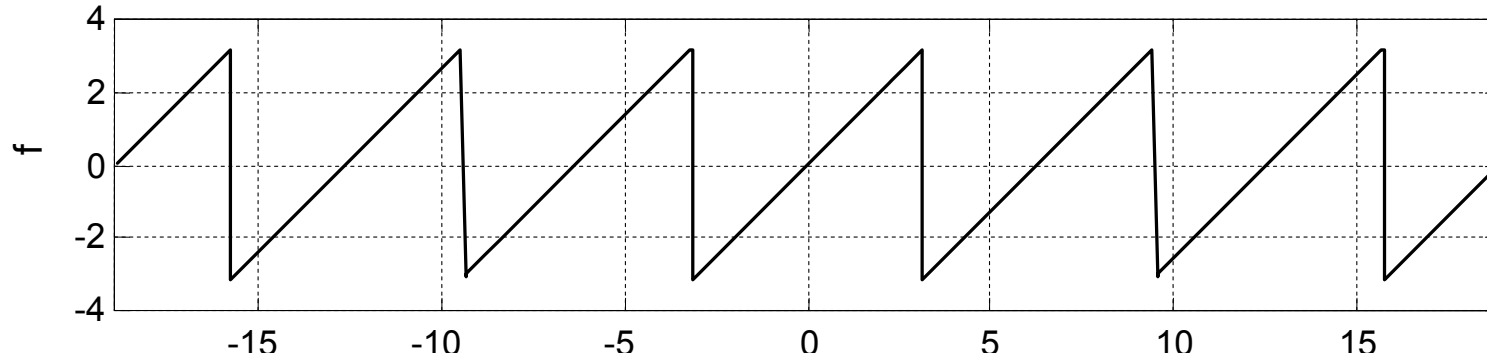
$$f(x) = 2 \text{atan}\left(\tan\left(\frac{x}{2}\right)\right)$$

- Očito je da ulaz  $i_1$  predstavlja trenutnu udaljenost mobilnog robota od virtualnog robota. Ulaz  $i_2$  je ugao koji zaklapaju pravac orijentacije robota i pravac koji spaja mobilnog robota sa virtualnim robotom.



## Neizraziti regulator pozicije

- Funkcija  $f$  služi da taj ugao svede na interval  $(-\pi, \pi]$ .



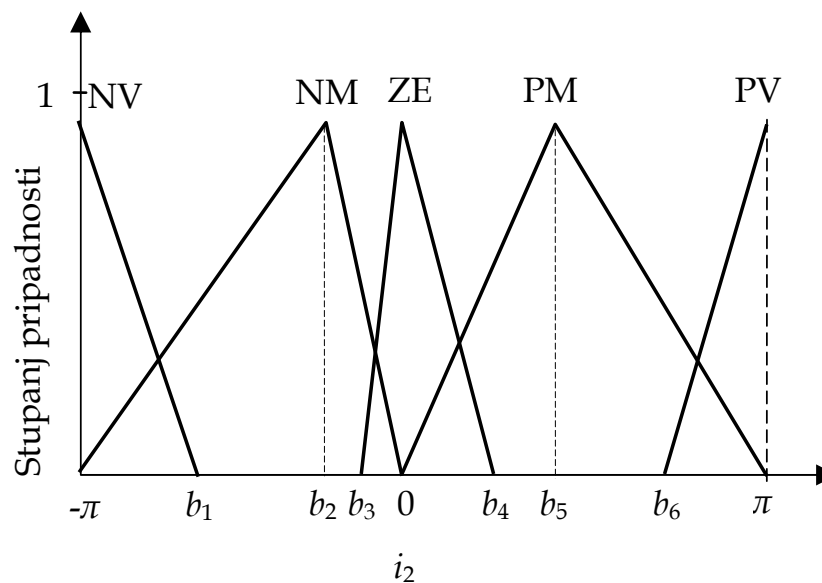
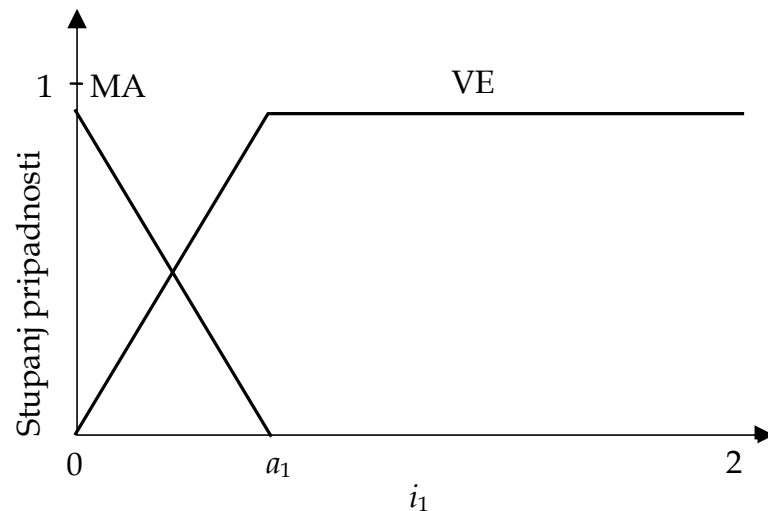
- Izlazi  $o_1$  i  $o_2$  predstavljaju komande za linearnu i ugaonu brzinu robota.
- Ulazi  $i_1$  i  $i_2$  će se modelirati sa dvije trapezoidne, odnosno pet trokutastih funkcija pripadnosti.
- Apscisne osi, koja predstavljaju vrijednosti ovih varijabli će se respektivno determinirati sa jednim ( $a_1$ ) i sa šest parametara ( $b_1, b_2, b_3, b_4, b_5$  i  $b_6$ ), koji će predstavljati po jedan binarni kromosom.



59/79

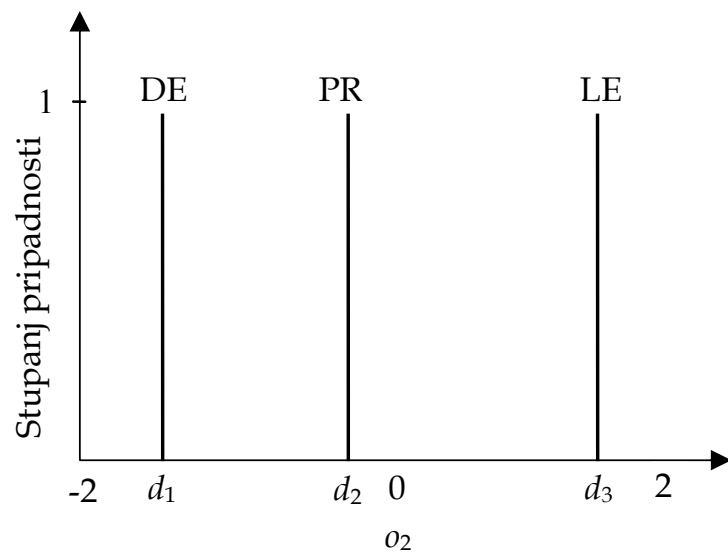
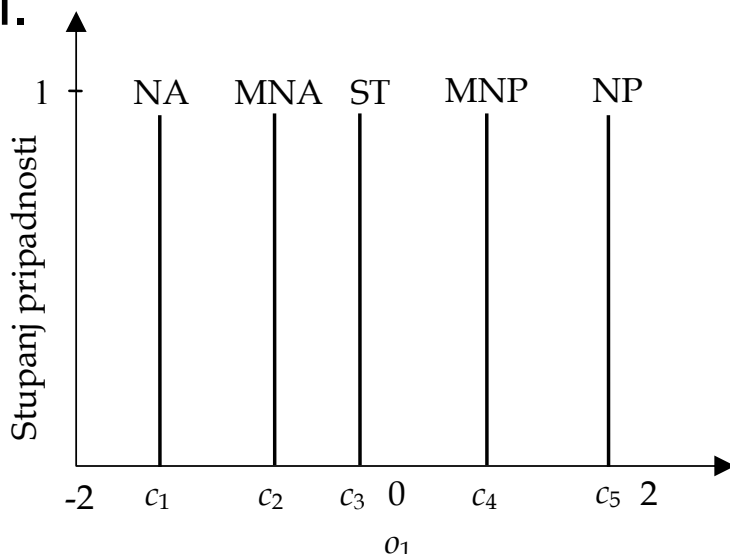
## Neizraziti regulator pozicije

- Proizvoljno postavljene funkcije pripadnosti ulaznih varijabli.



## Neizraziti regulator pozicije

- Proizvoljno postavljene funkcije pripadnosti izlaznih varijabli.



Vrijednosti izlaznih varijabli  $o_1$  i  $o_2$  determiniraju se pomoću parametara  $c_1$ ,  $c_2$ ,  $c_3$ ,  $c_4$  i  $c_5$ , odnosno  $d_1$ ,  $d_2$  i  $d_3$



## Neizraziti regulator pozicije

- Nakon determiniranja, formiran je potpun skup od 10 pravila:

AKO ( $i_1$  je MA) I ( $i_2$  je NV) ONDA ( $o_1$  je MNA) ( $o_2$  je DE)  
AKO ( $i_1$  je MA) I ( $i_2$  je NM) ONDA ( $o_1$  je MNP) ( $o_2$  je DE)  
AKO ( $i_1$  je MA) I ( $i_2$  je ZE) ONDA ( $o_1$  je ST) ( $o_2$  je PR)  
AKO ( $i_1$  je MA) I ( $i_2$  je PM) ONDA ( $o_1$  je MNP) ( $o_2$  je LE)  
AKO ( $i_1$  je MA) I ( $i_2$  je PV) ONDA ( $o_1$  je MNA) ( $o_2$  je LE)  
AKO ( $i_1$  je VE) I ( $i_2$  je NV) ONDA ( $o_1$  je NA) ( $o_2$  je DE)  
AKO ( $i_1$  je VE) I ( $i_2$  je NM) ONDA ( $o_1$  je NP) ( $o_2$  je DE)  
AKO ( $i_1$  je VE) I ( $i_2$  je ZE) ONDA ( $o_1$  je NP) ( $o_2$  je PR)  
AKO ( $i_1$  je VE) I ( $i_2$  je PM) ONDA ( $o_1$  je NP) ( $o_2$  je LE)  
AKO ( $i_1$  je VE) I ( $i_2$  je PV) ONDA ( $o_1$  je NA) ( $o_2$  je LE)

## Neizraziti regulator pozicije

- **Parametri koji određuju funkcije pripadnosti neizrazitog regulatora su kodirani u binarni kromosom i podvrgnuti evoluciji, dok je skup pravila bio nepromjenjiv.**
- Svaki parametar je u kromosому predstavljen sa po 12 bita.

$a_1$	$b_1$	$b_2$	$b_3$	$b_4$	$b_5$	$b_6$	$c_1$	$c_2$	$c_3$	$c_4$	$c_5$	$d_1$	$d_2$	$d_3$
-------	-------	-------	-------	-------	-------	-------	-------	-------	-------	-------	-------	-------	-------	-------

- Za funkciju cilja korištena je sljedeća funkcija:

$$F = \sum_{i=1}^3 \left[ a_i \int_0^{t_s} \ln(1 + |e_i(t)|) dt \right] + a_R \cdot \max_{t \in [0, t_s]} (\tau_R(t)) + a_L \cdot \max_{t \in [0, t_s]} (\tau_L(t))$$

gdje je  $a_1 = 1, a_2 = 5, a_3 = 1, t_s = 16, a_R = a_L = 1$ .

## Neizraziti regulator pozicije

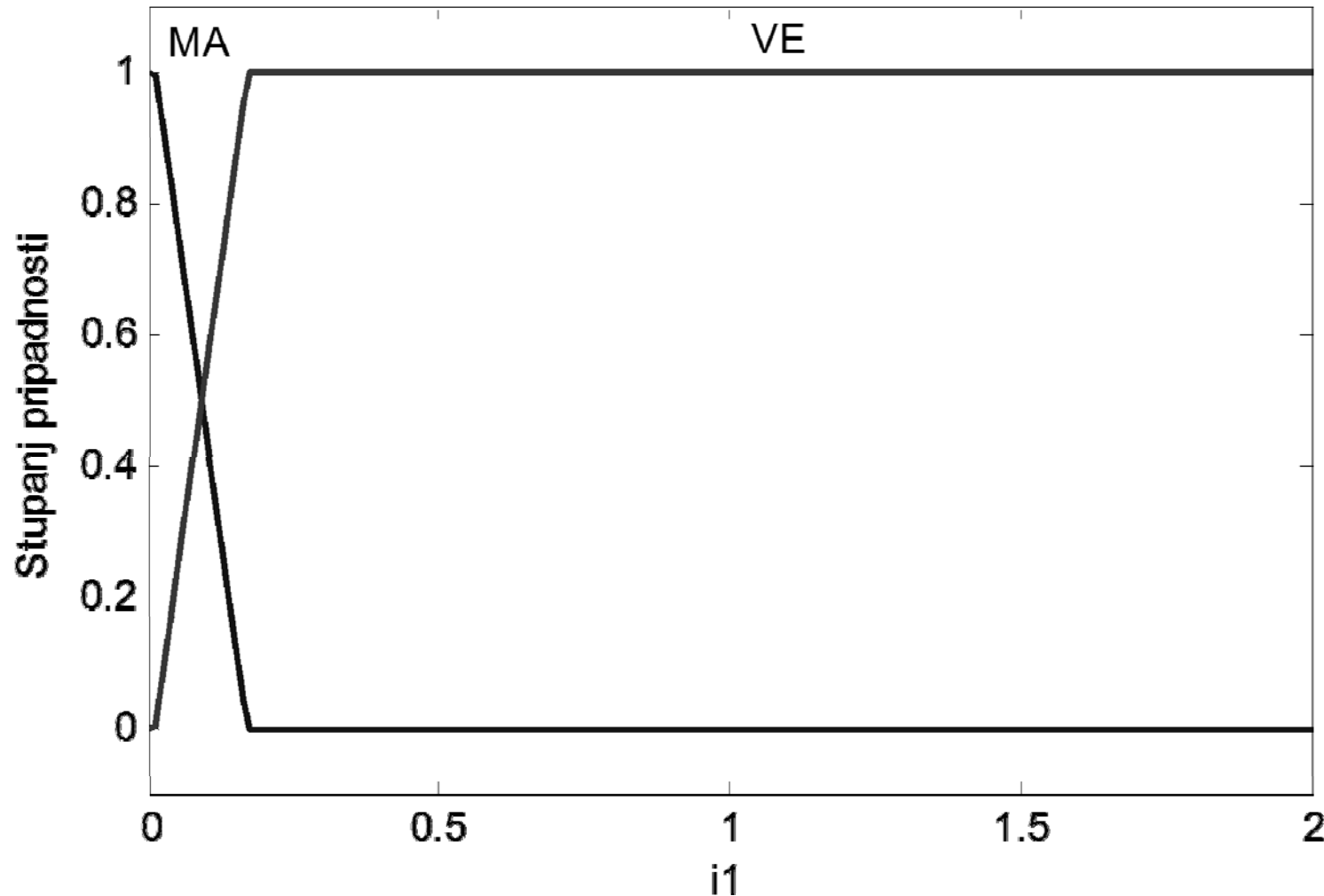
- Kod podešavanja parametara funkcija pripadnosti ulaznih i izlaznih varijabli cilj je bio smanjiti (ograničiti) momente desnog i lijevog kotača, uz istovremeno dobro slijedenje referentne trajektorije.
- U tom smislu je izabrana složena trajektorija trifolijumskog oblika.
- **Za optimizaciju funkcija pripadnosti korišten je jednostavan genetski algoritam sa veličinom populacije od 51 jedinke, turnirskom selekcijom, uniformnim križanjem, bitovnom mutacijom sa uključenim elitizmom.**
- Nakon sprovedenog postupka evolucije genetskim algoritmom dobivene su funkcije pripadnosti ulaznih i izlaznih varijabli prikazanih na sljedećim slajdovima.

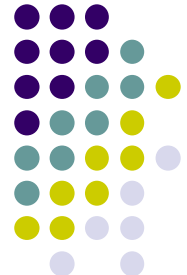


64/79

## Neizraziti regulator pozicije

- Funkcije pripadnosti ulaznih varijabli

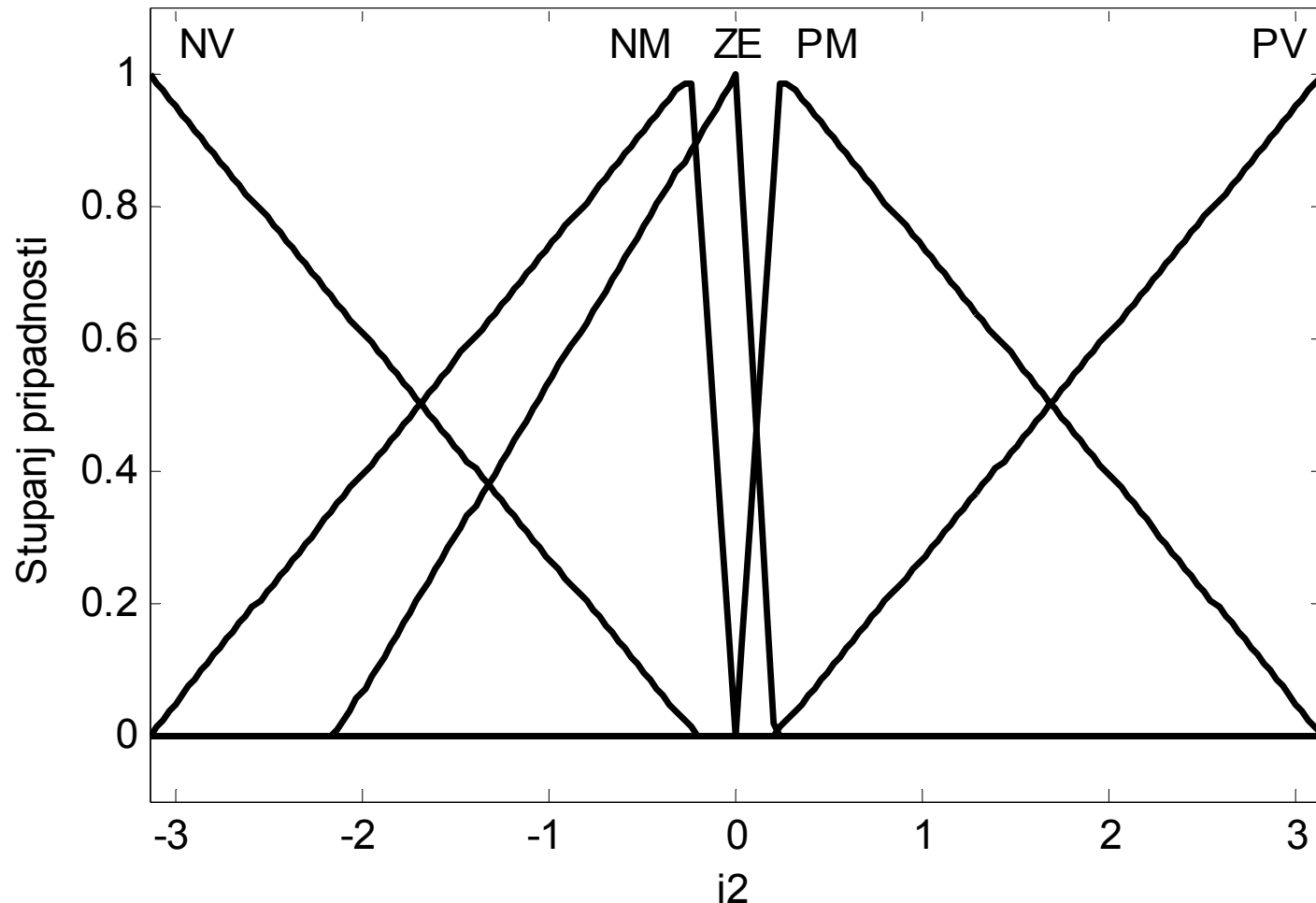




65/79

## Neizraziti regulator pozicije

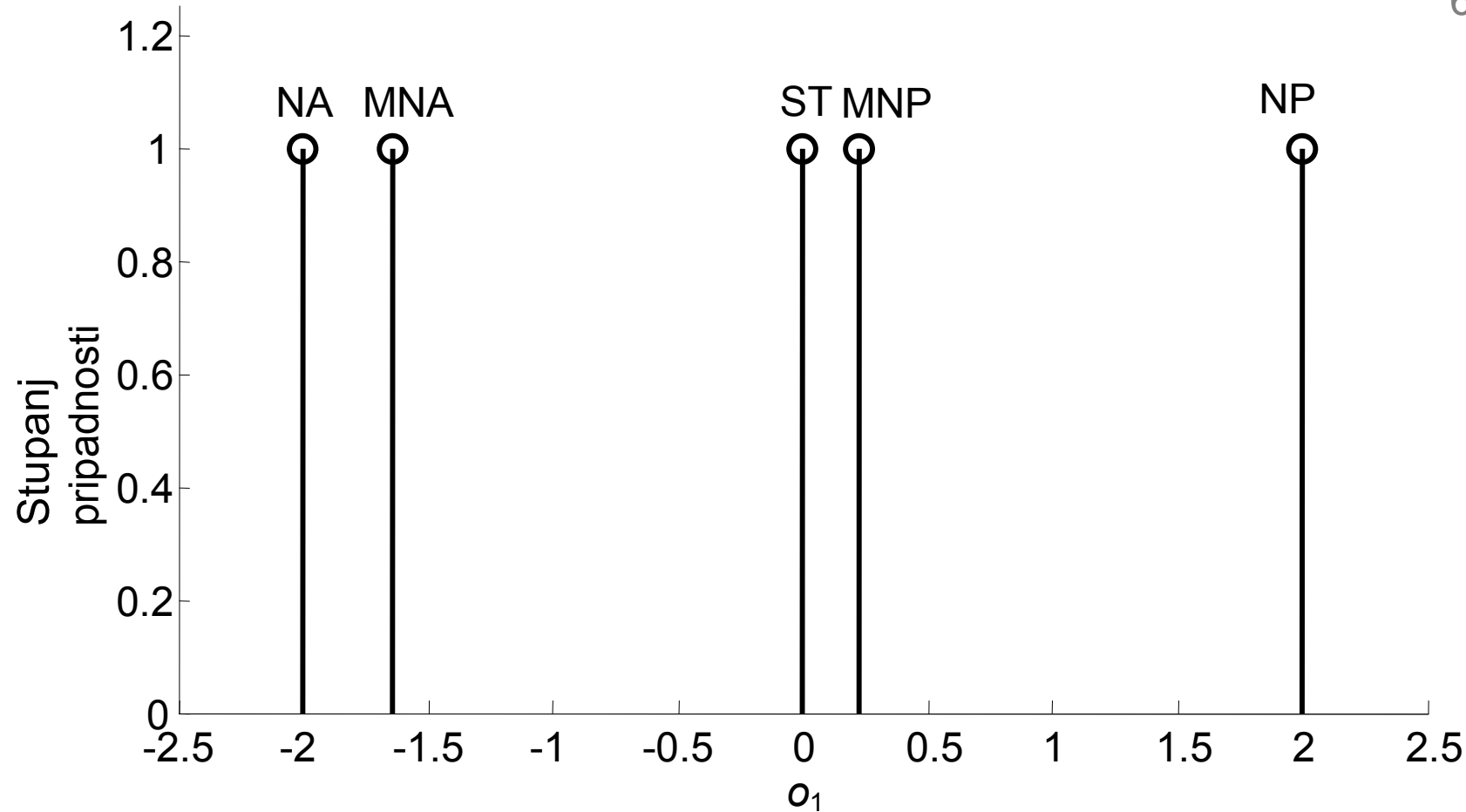
- Funkcije pripadnosti ulaznih varijabli





## Neizraziti regulator pozicije

- Funkcije pripadnosti izlaznih varijabli

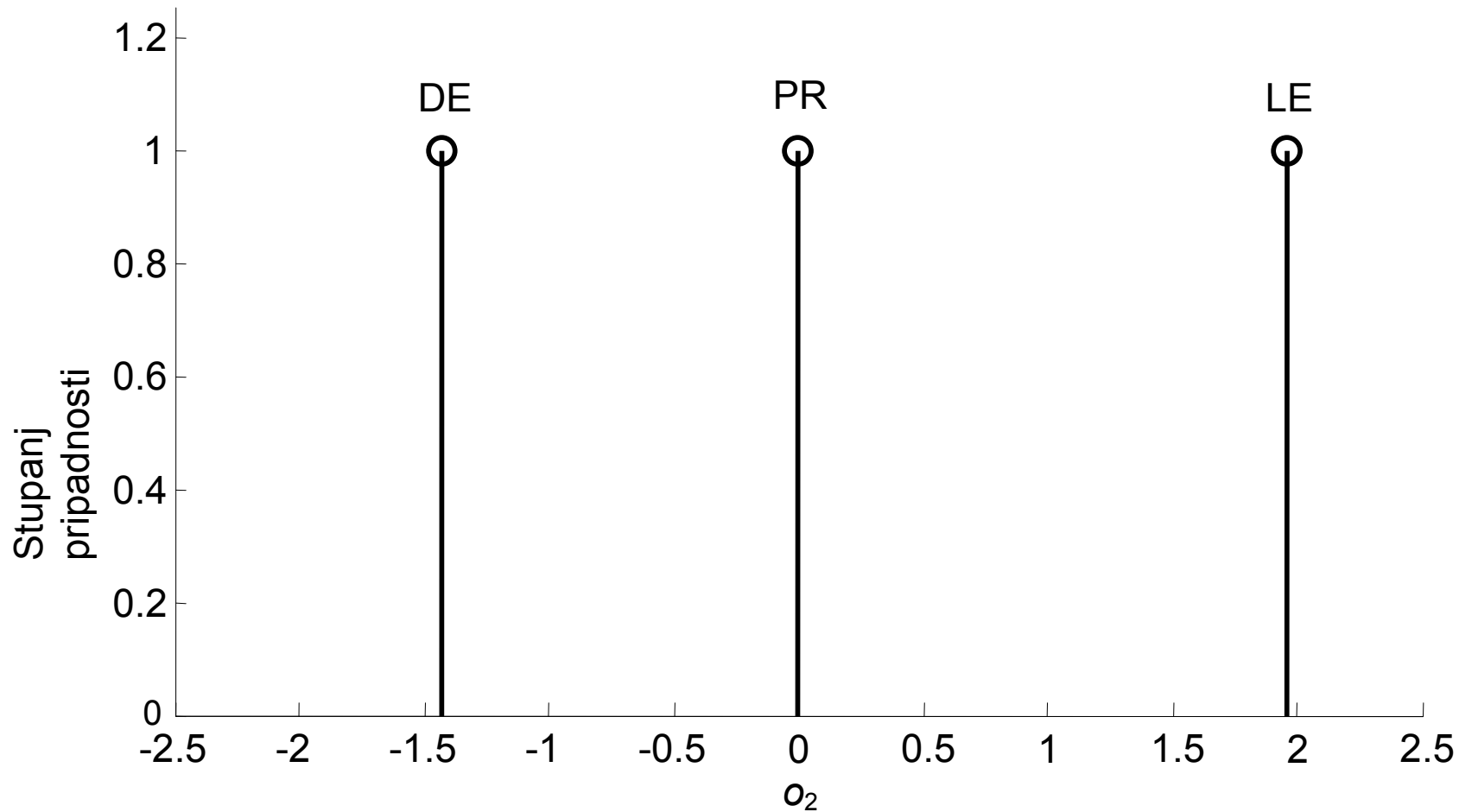




67/79

## Neizraziti regulator pozicije

- Funkcije pripadnosti izlaznih varijabli



## Neizraziti regulator pozicije

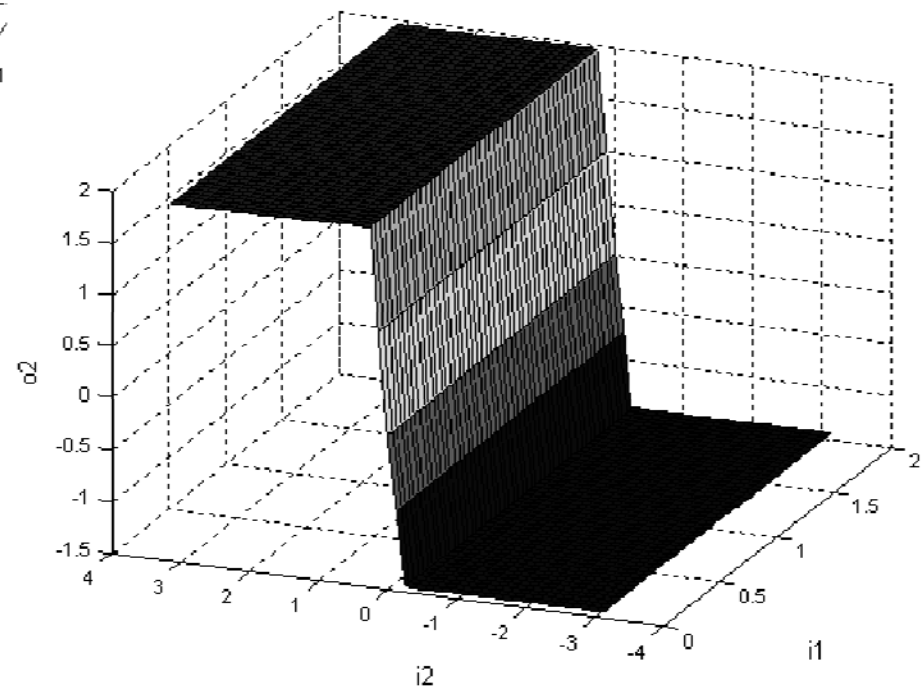
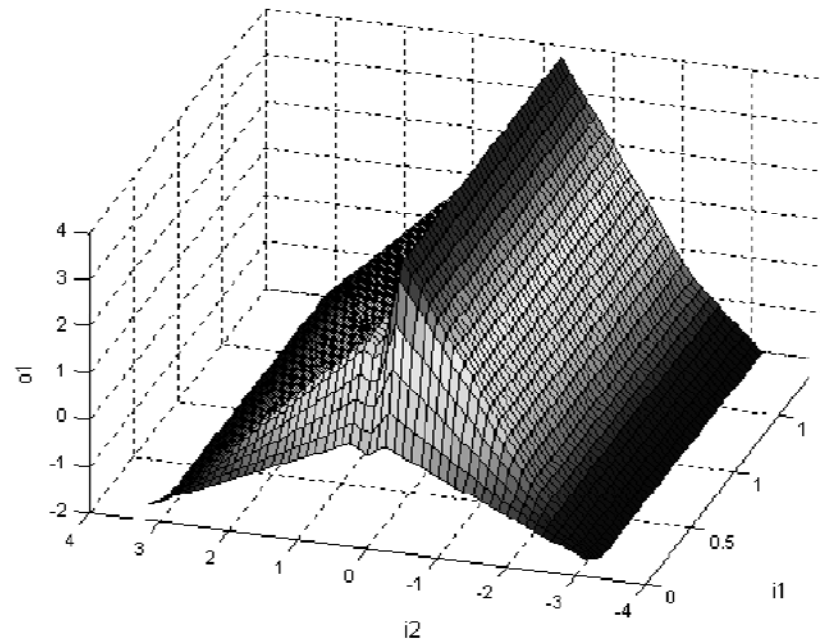
- Bitna karakteristika ovako koncipiranog regulatora pozicije je da su njegovi izlazi inherentno ograničeni.
- Mana ovakvog koncepta je nemogućnost praćenja trajektorija koje podrazumijevaju veće brzine od onih koje regulator može "predložiti".
- S druge strane, prednost leži u činjenici da aktuacijske veličine (konkretno brzine, a posljedično i momenti) ne mogu izaći iz unaprijed definiranih okvira.
- Na temelju evoluiranih funkcija pripadnosti i odabranih pravila zaključivanja dobivaju se dvije karakteristične upravljačke površine, po jedna pridružena svakom izlazu, predočene su slikama na sljedećem slajdu.



69/79

## Neizraziti regulator pozicije

- Upravljačke površine

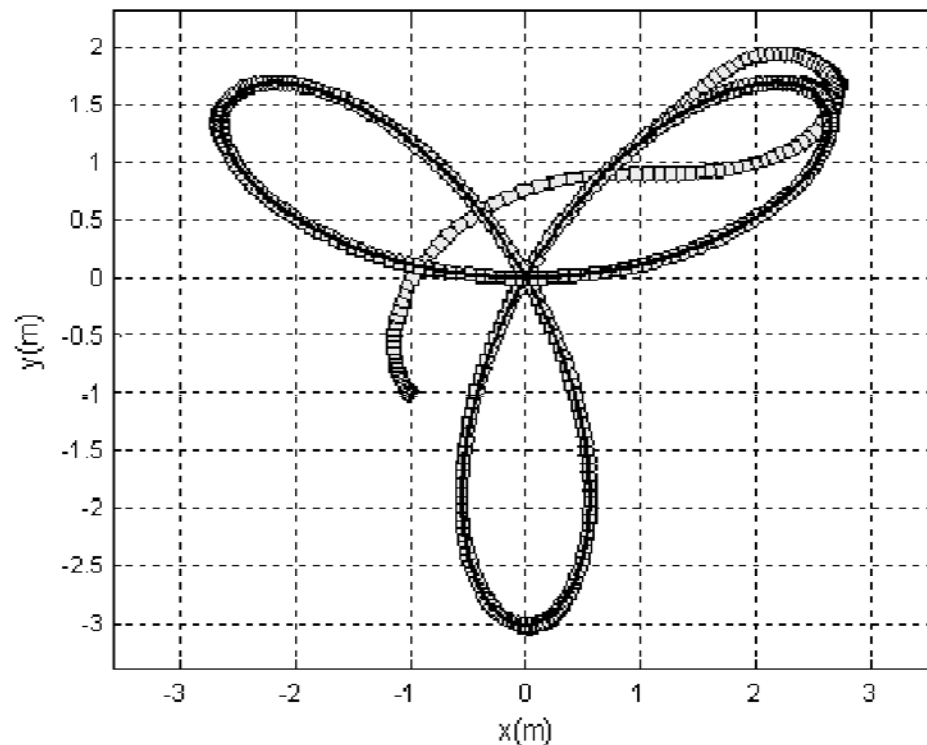




# Neizraziti regulator pozicije

## Simulacijski rezultati

- Početno stanje robota je  $[x \ y \ \theta] = [-1 \ -1 \ 3\pi/4]$ , a virtualnog robota  $[0 \ 0 \ 0]$ .
- Na slici je prikazano praćenje referentne trajektorije, gdje je kretanje referentnog virtualnog robota prikazano punom linijom a stvarnog pomoću strelica.

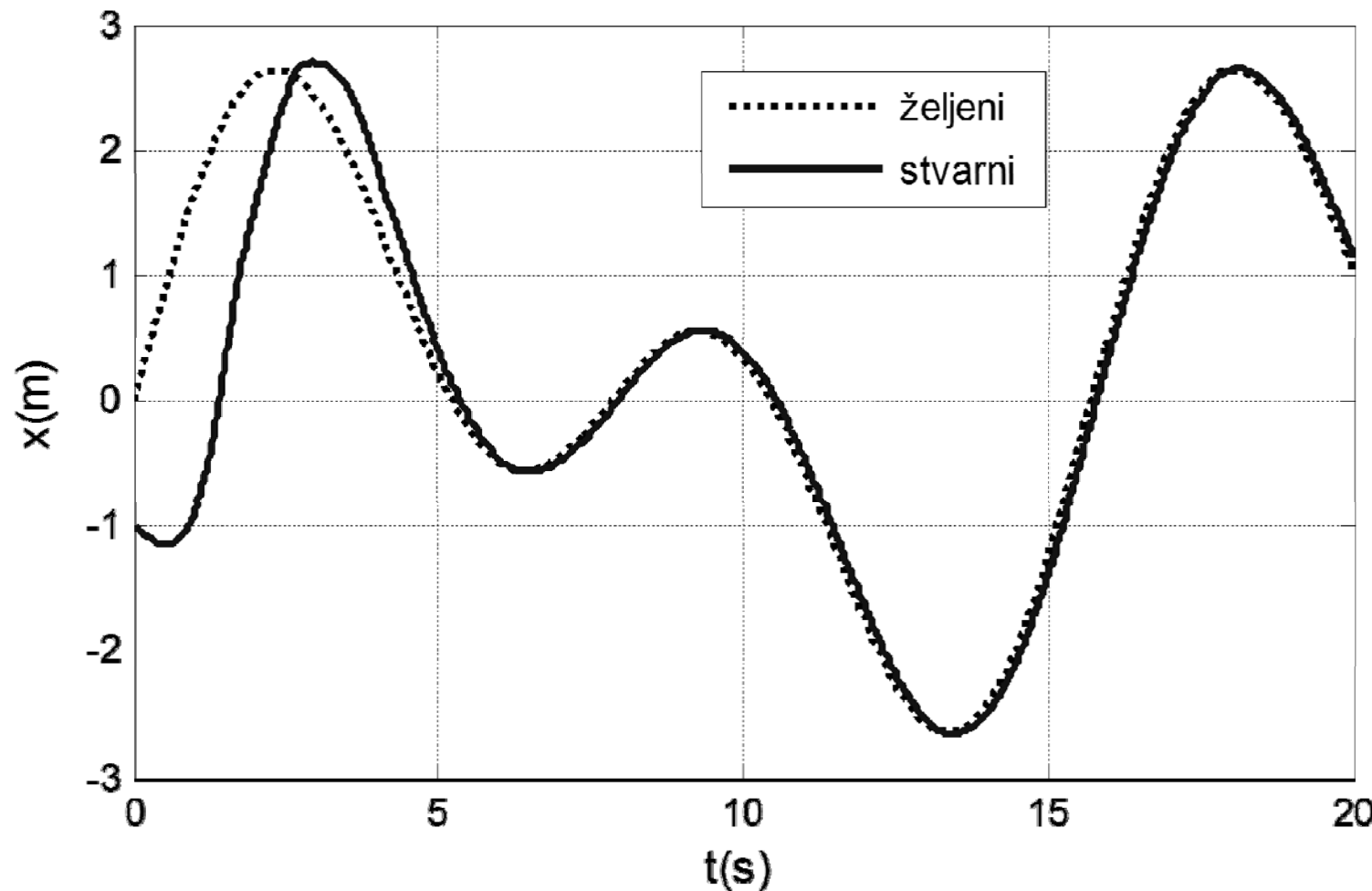




71/79

# Neizraziti regulator pozicije

## Simulacijski rezultati

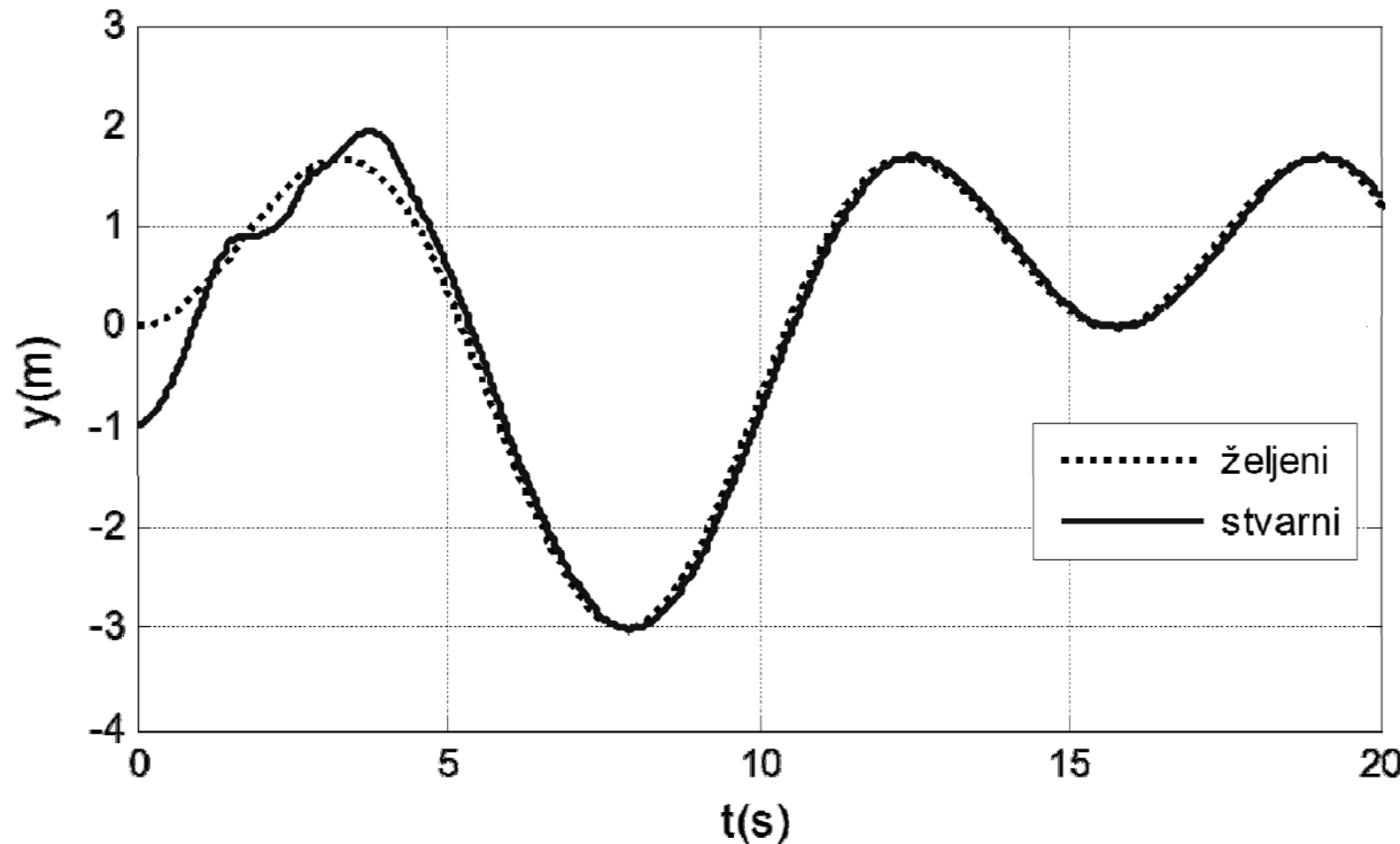




72/79

# Neizraziti regulator pozicije

## Simulacijski rezultati

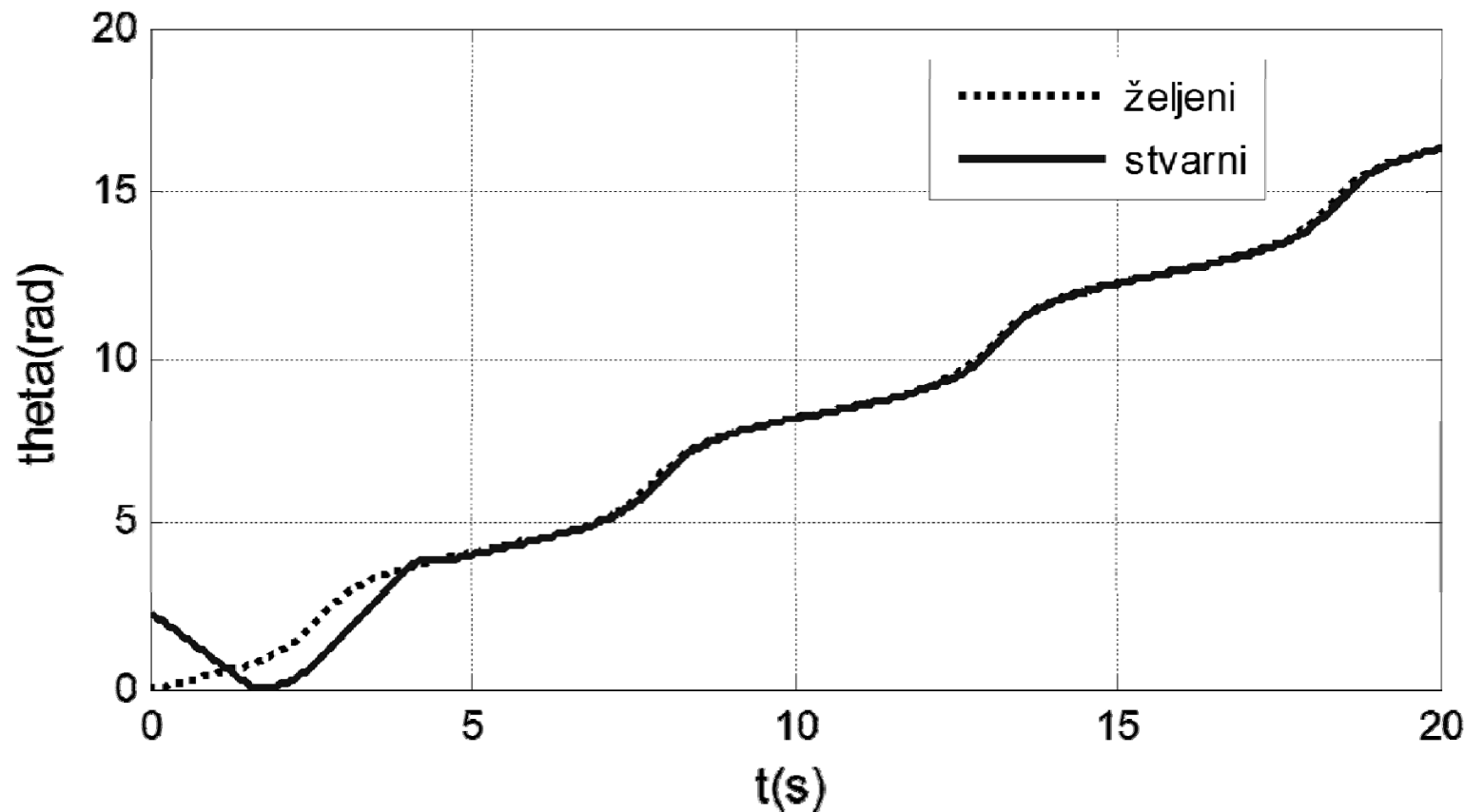




73/79

# Neizraziti regulator pozicije

## Simulacijski rezultati

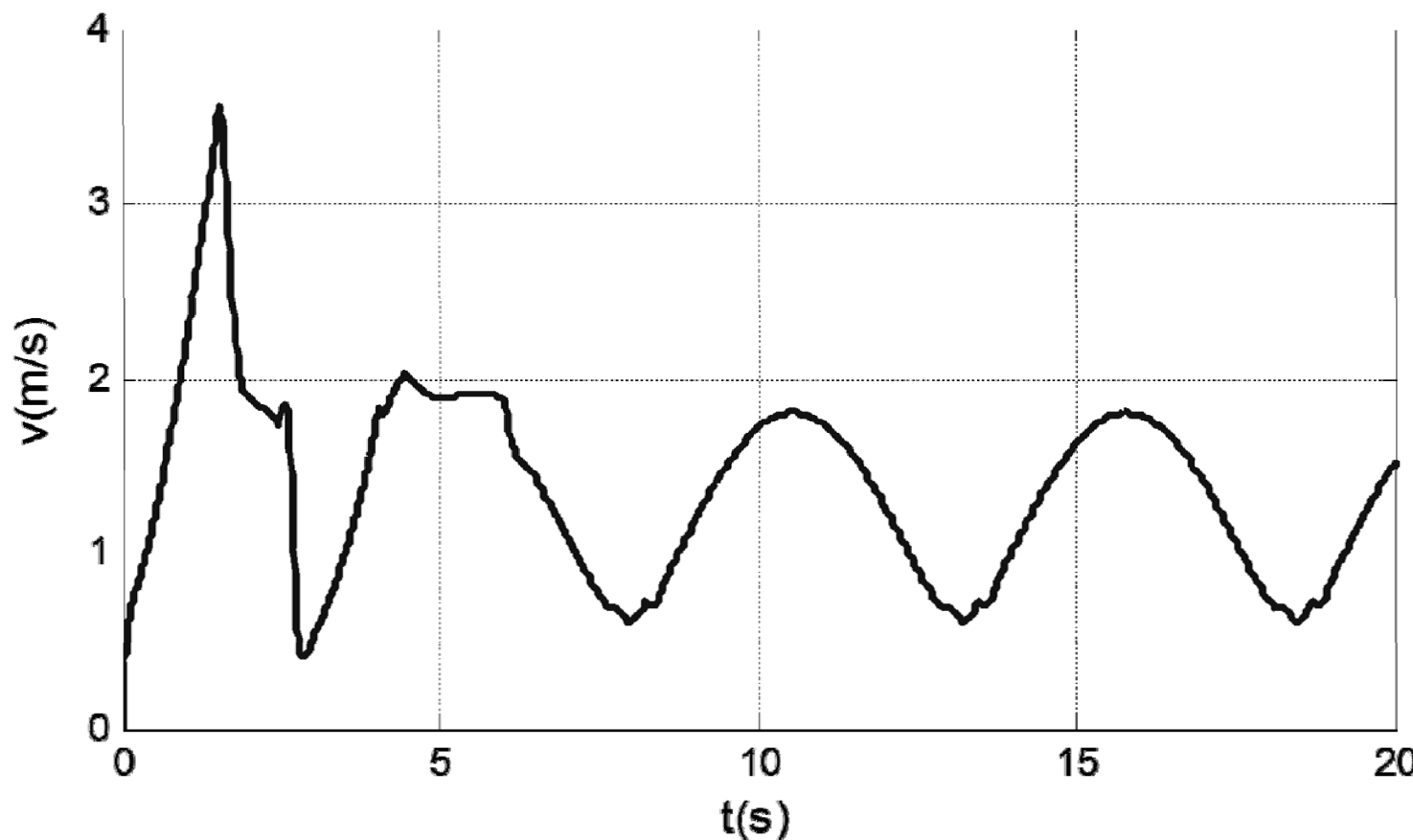




74/79

# Neizraziti regulator pozicije

## Simulacijski rezultati

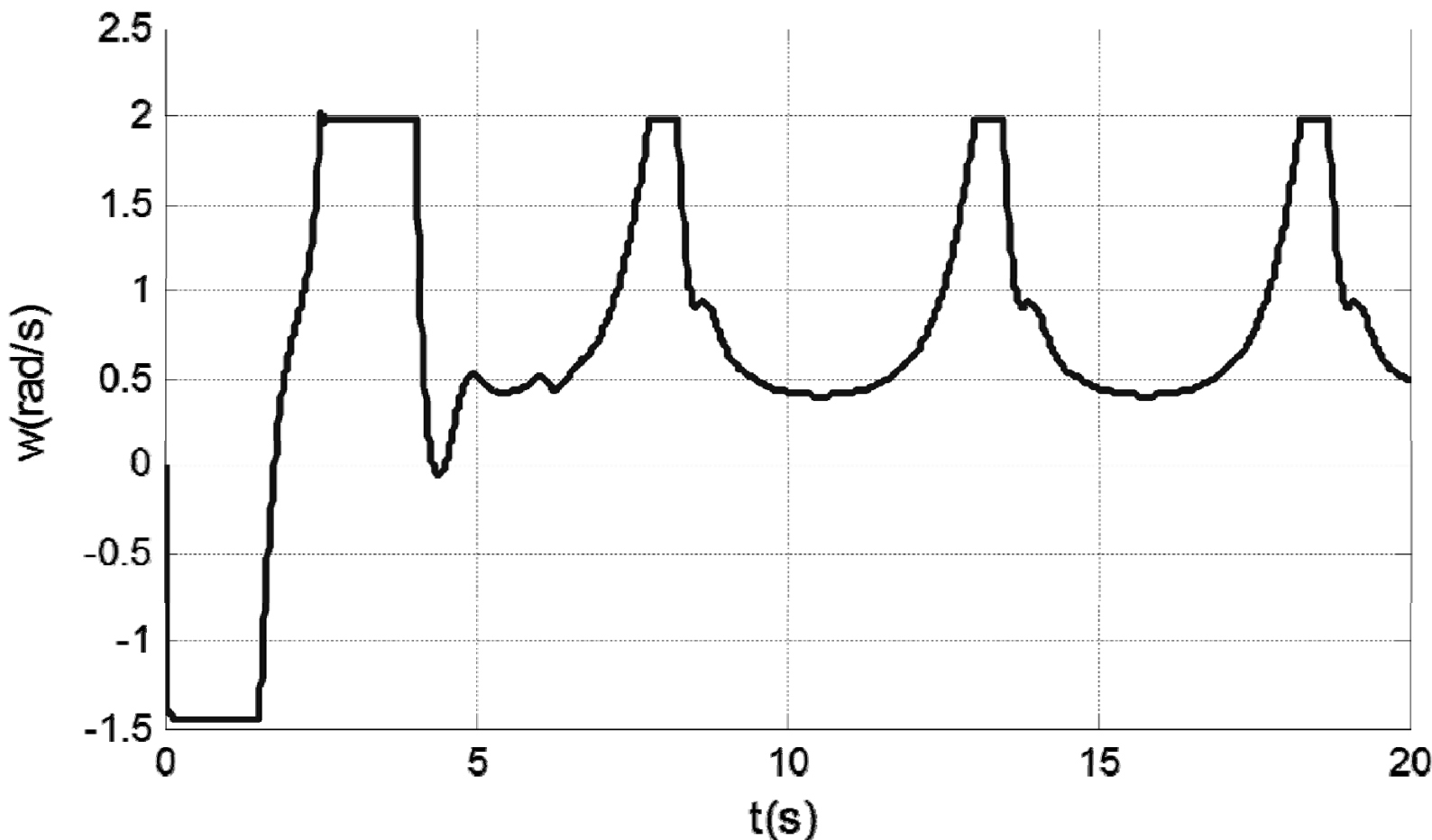




75/79

# Neizraziti regulator pozicije

## Simulacijski rezultati

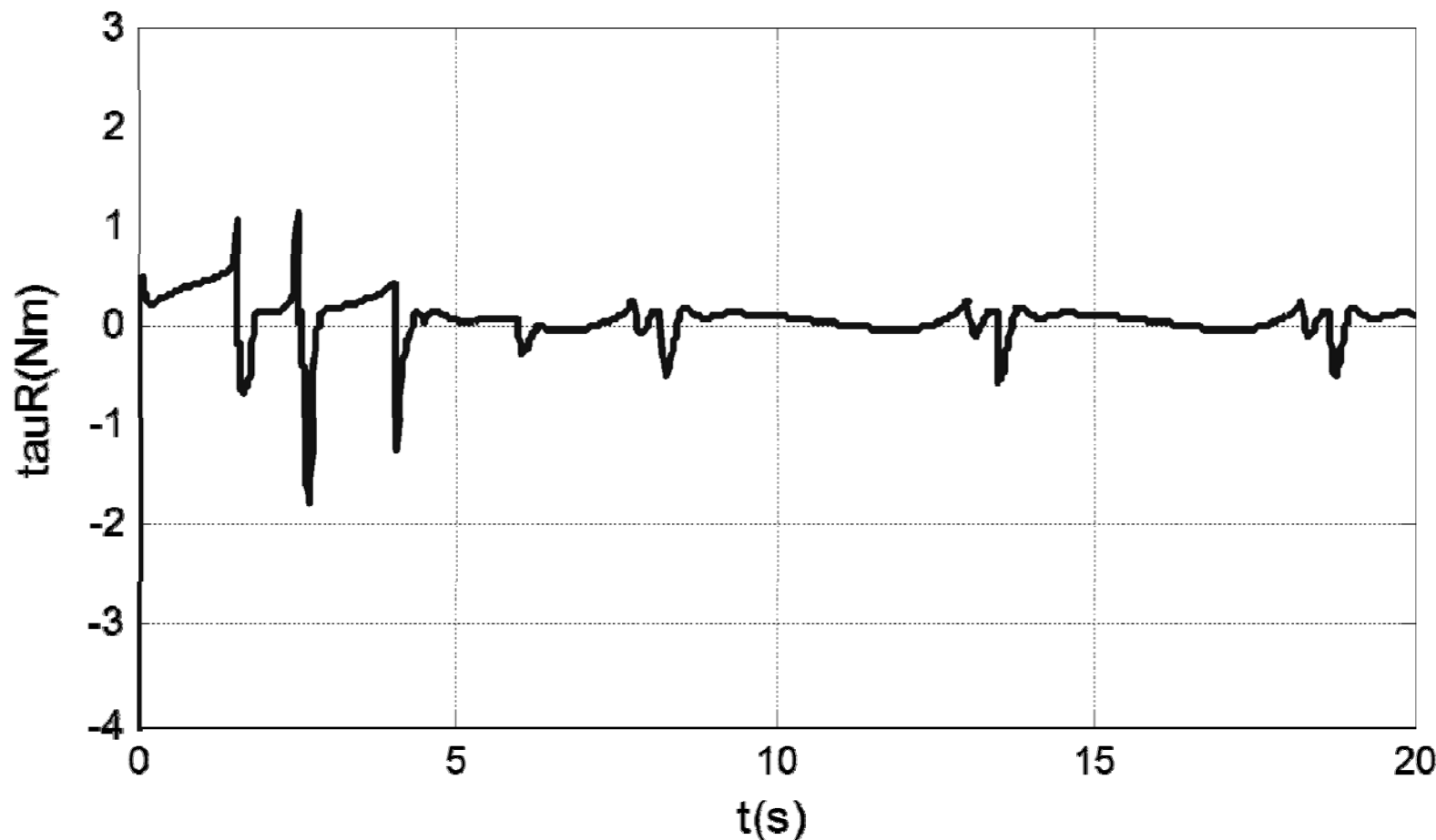




76/79

# Neizraziti regulator pozicije

## Simulacijski rezultati

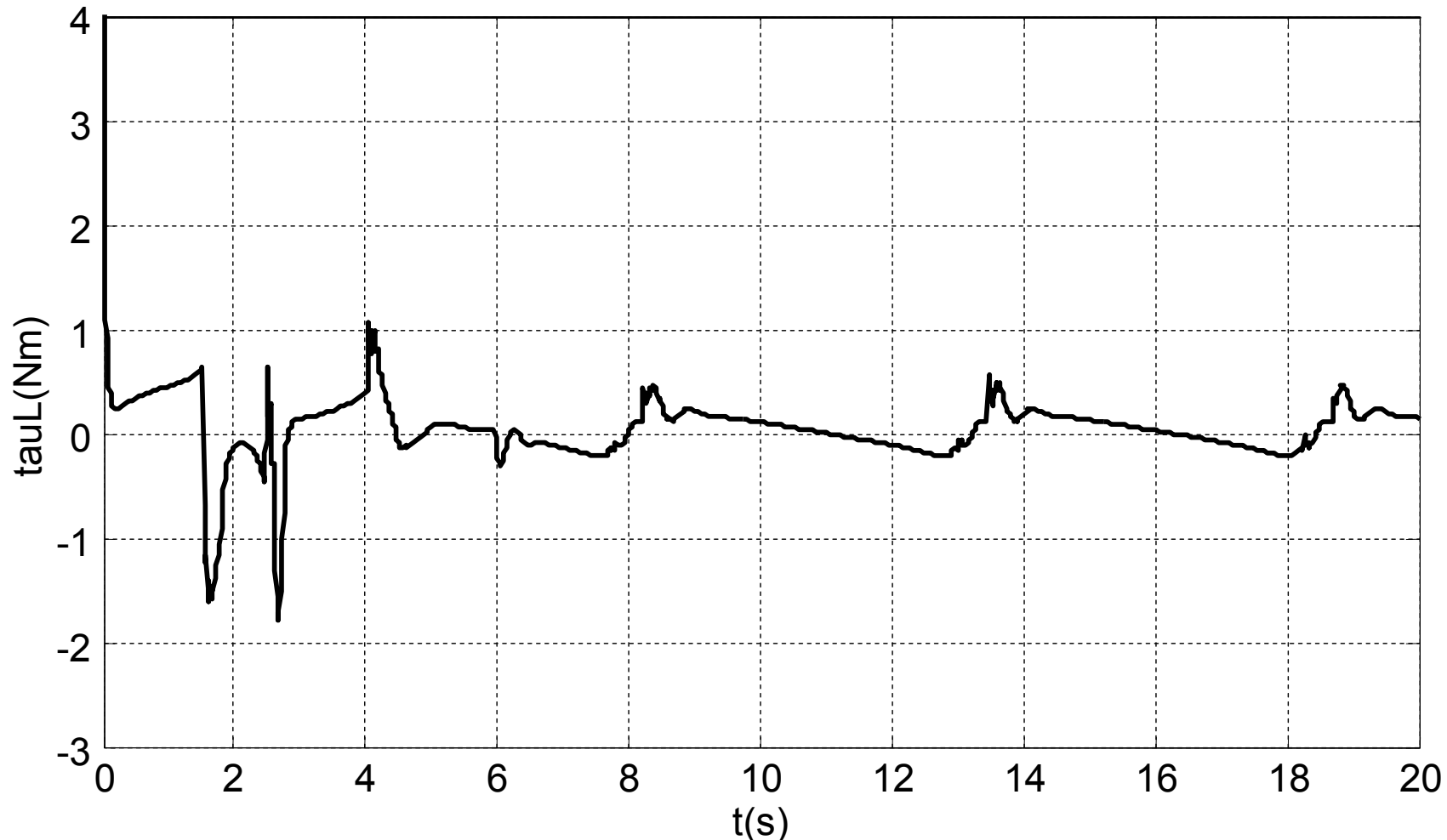




77/79

# Neizraziti regulator pozicije

## Simulacijski rezultati



# Neizraziti regulator pozicije

## Simulacijski rezultati

- Sa slika se zapaža da robot jako dobro prati referentnog robota i da je u stanju, bez obzira što nije krenuo iz iste tačke kao i referentni, za veoma kratko vrijeme uhvatiti njegovo kretanje.
- Ovo se dobro vidi na slikama na kojima su prikazani odzivi  $x$  i  $y$  koordinata.
- Osim u početnom dijelu, zbog različitih startnih tačaka, u cijelom vremenskom intervalu praćenja gotovo da i nema odstupanja koordinata stvarnog od koordinata referentnog robota.
- U prilog ovoj prići idu rezultati orijentacije robota prikazani.

# Neizraziti regulator pozicije

## Simulacijski rezultati

- Kako je ranije naglašeno, glavni cilj sinteze neizrazitog regulatora bio je smanjiti aktuacijske veličine (brzine, odnosno momente) koje djeluju na kotače mobilnog robota, uz istovremeno dobro slijđenje pozicije referentnog virtualnog robota.
- Ovaj cilj je u potpunosti ostvaren, a to potkrepljuju rezultati u odzivima brzina (slajdovi 74 i 75), odnosno momenata (slike 76 i 77).